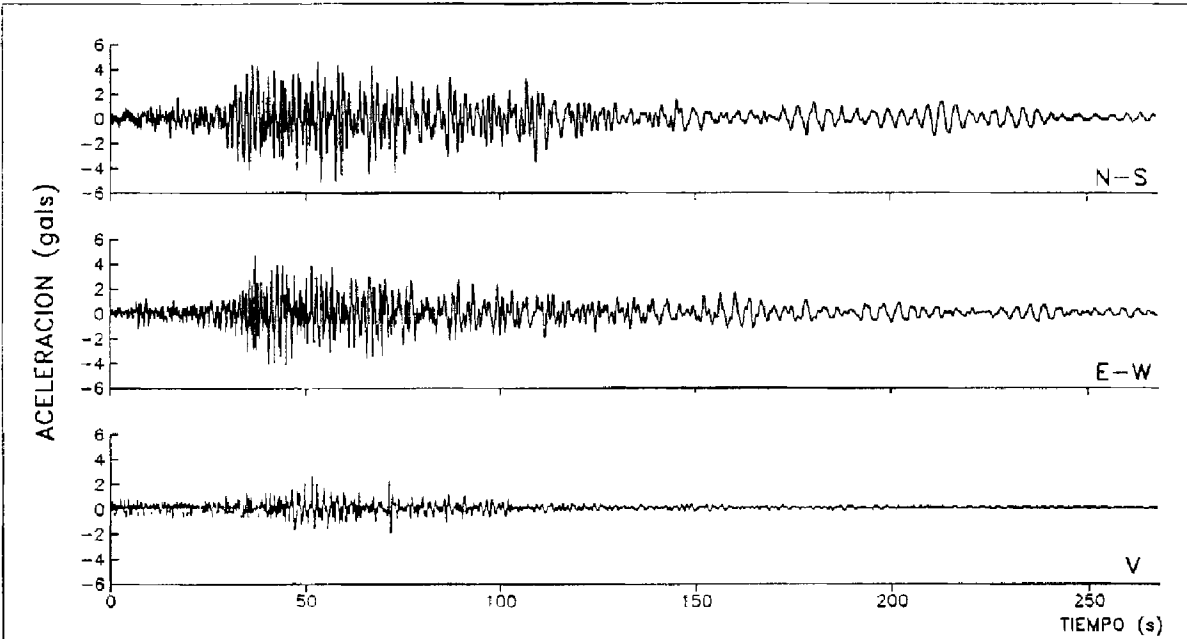
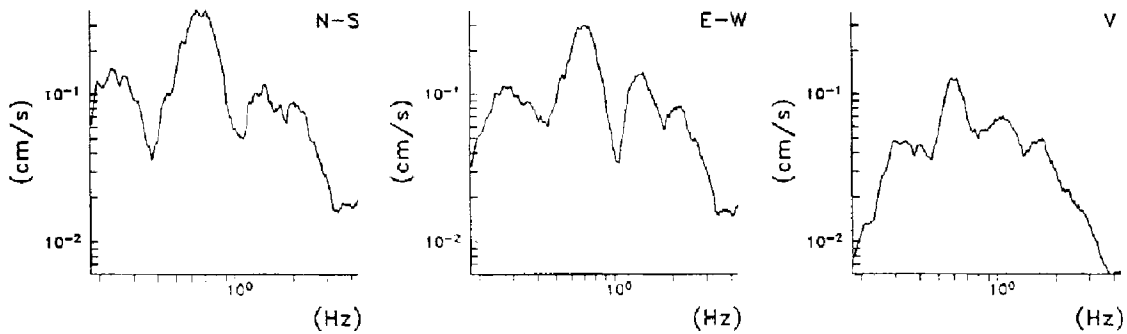


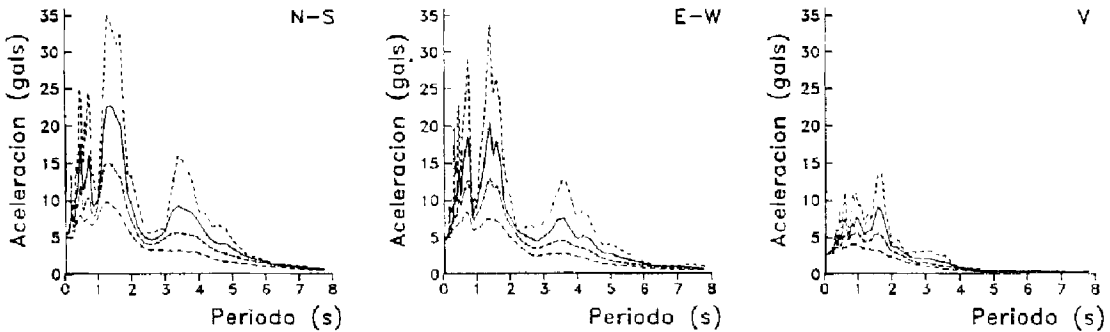
ESTACION No.7, TLACOTAL, pozo 30m			
Fecha:	24 de octubre, 1993	Amax (N-S): -5.43	SMAC-MD
Hora:	07:53:12 [GMT]	[gals] (E-W): 4.70	TLA19310.241
Duración:	267.66 s	(V): 2.72	CENAPRED



ESPECTROS DE FOURIER



ESPECTROS DE RESPUESTA (amortiguamientos 2,5,10,20%)



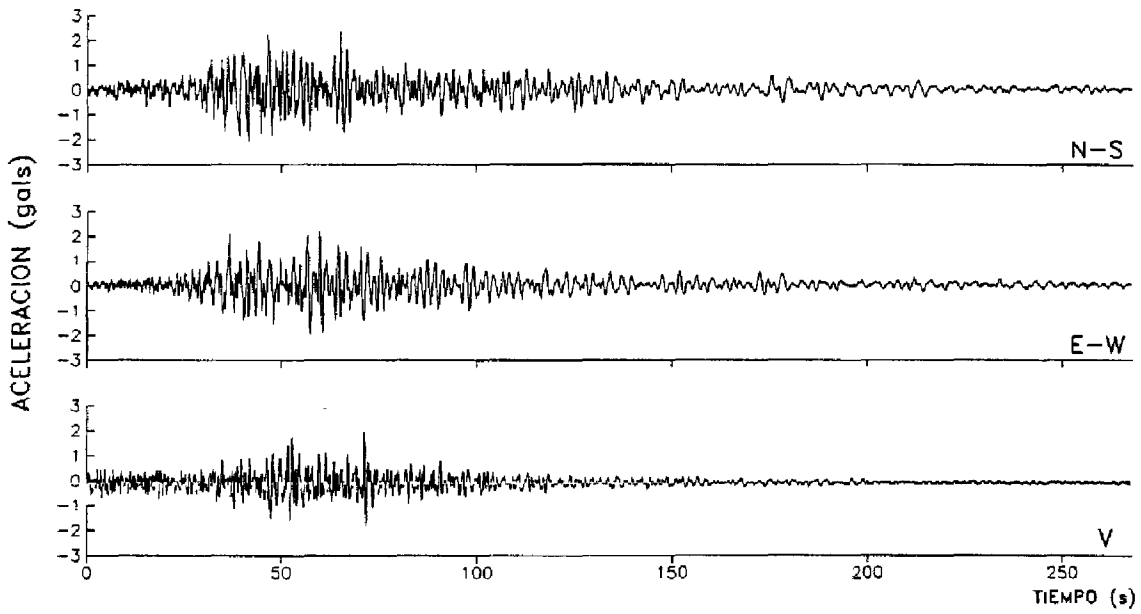
Registro C93118

ESTACION No.7, TLACOTAL, pozo 86m

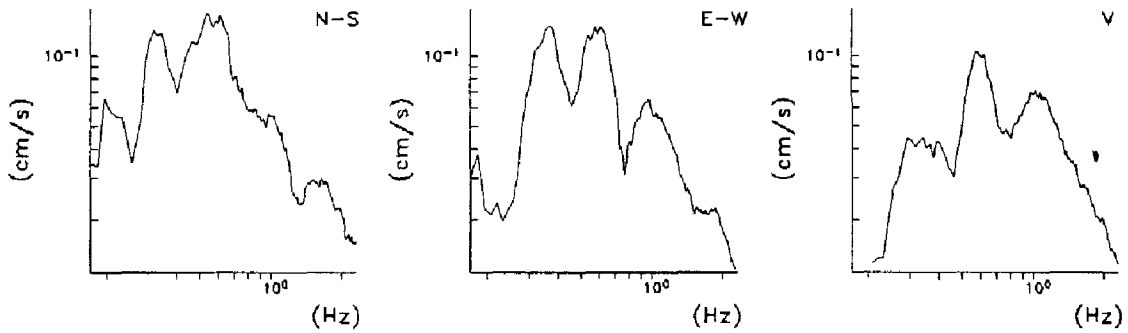
Fecha: 24 de octubre, 1993
 Hora: 07:53:12 [GMT]
 Duracion: 267.66 s

Amax (N-S) 2.38
 [gals] (E-W): 2.20
 (V): 1.98

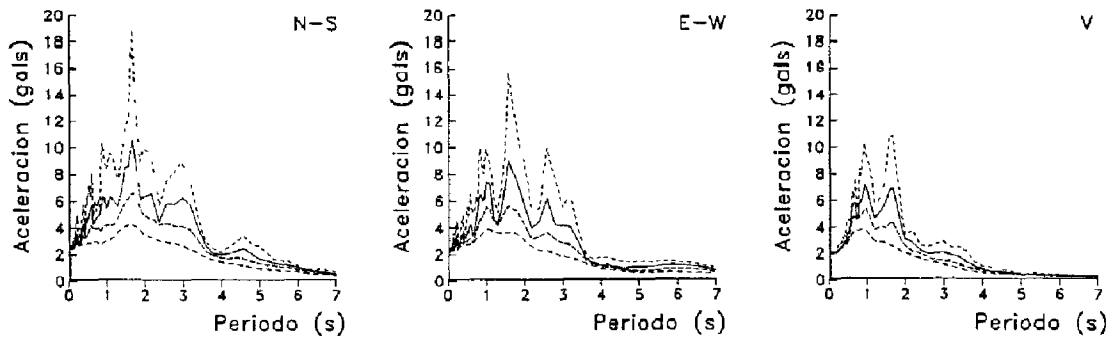
SMAC-MD
 TLA29310.241
 CENAPRED



ESPECTROS DE FOURIER



ESPECTROS DE RESPUESTA (amortiguamientos 2,5,10,20%)

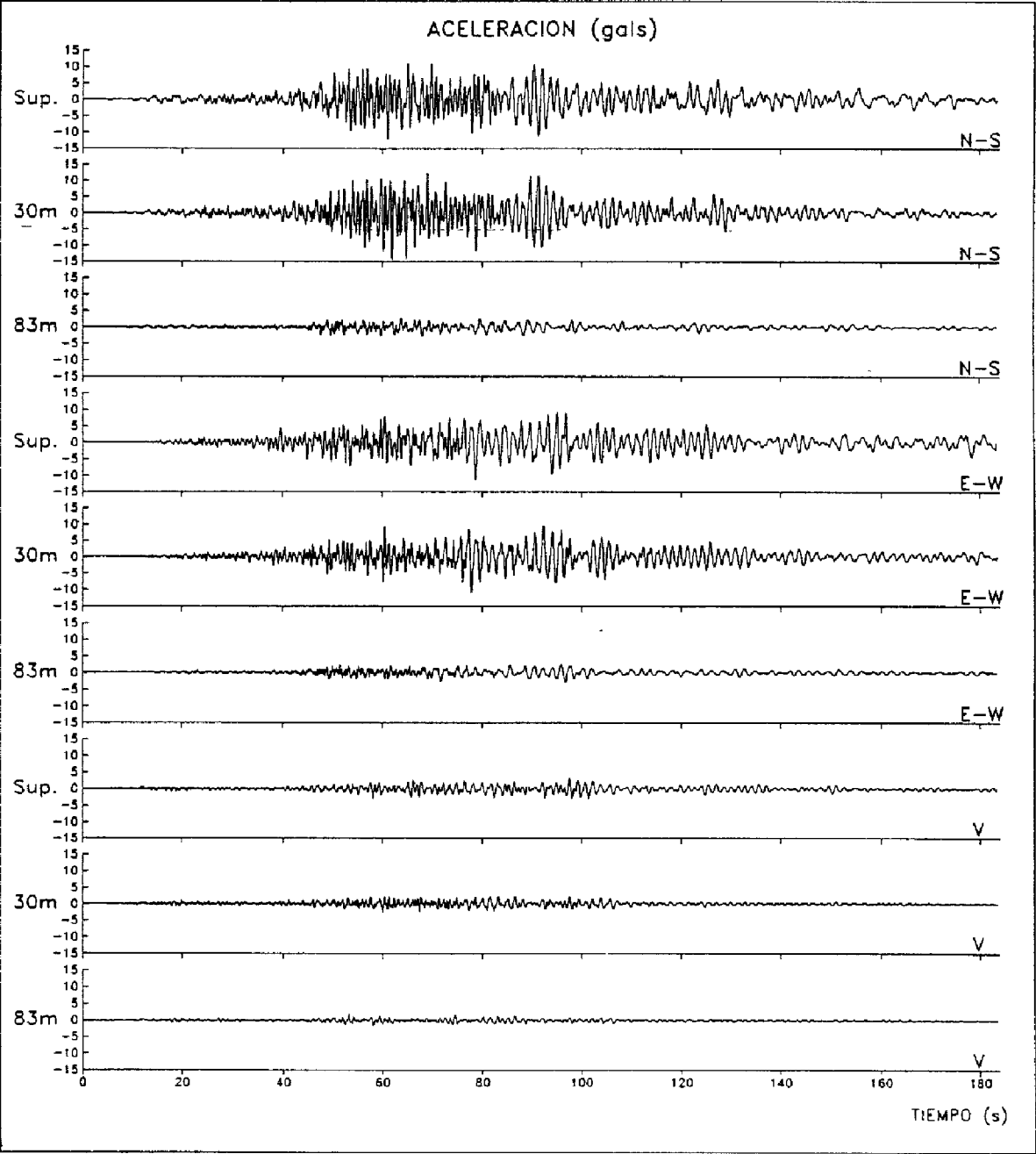


Registro C93119

ESTACION No.8, ZARAGOZA
 Fecha: 24 de octubre, 1993
 Hora: 07:52:58.0 [GMT]
 Duracion: 183.46 s

SMAC-MD
 ZARX9310.241
 CENAPRED

MAXIMOS[gals]	SUPERFICIE	POZO 30m	POZO 83m
NORTE-SUR	-11.93	-14.53	2.93
ESTE-OESTE.	-11.32	-10.96	-3.02
VERTICAL.	3.45	-2.56	1.98



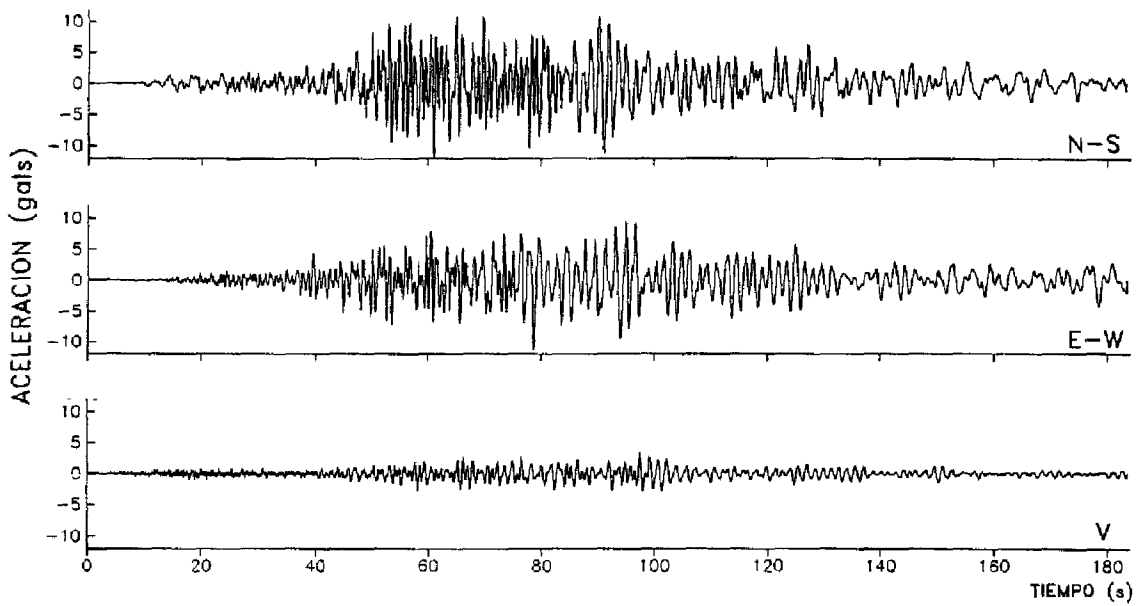
Registros C93120, C93121, C93122

ESTACION No.8, ZARAGOZA, superficie

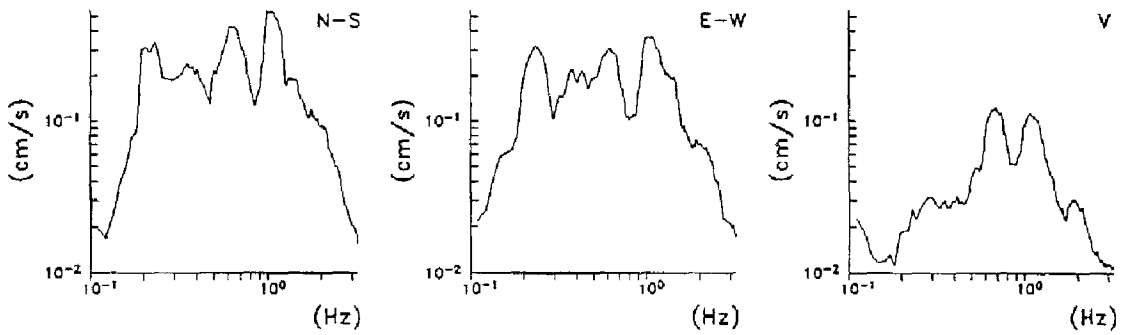
Fecha: 24 de octubre, 1993
 Hora: 07:52:58.0 [GMT]
 Duracion: 183.46 s

Amax (N-S) -11.93
 [gals] (E-W): -11.32
 (V): 3.45

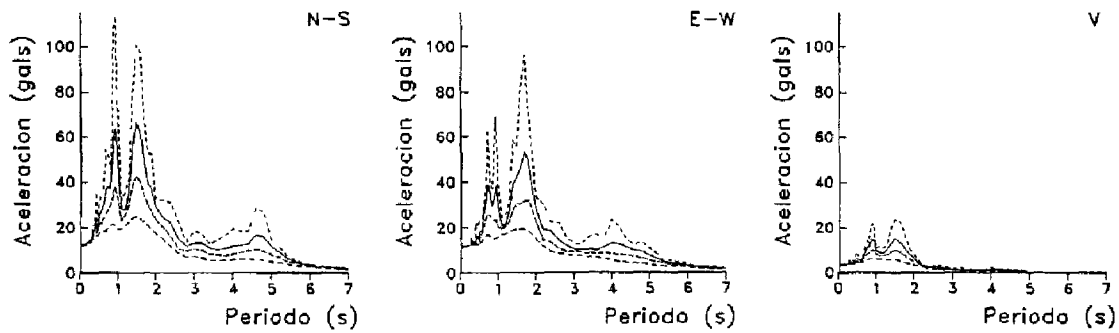
SMAC-MD
 ZARS9310.241
 CENAPRED



ESPECTROS DE FOURIER

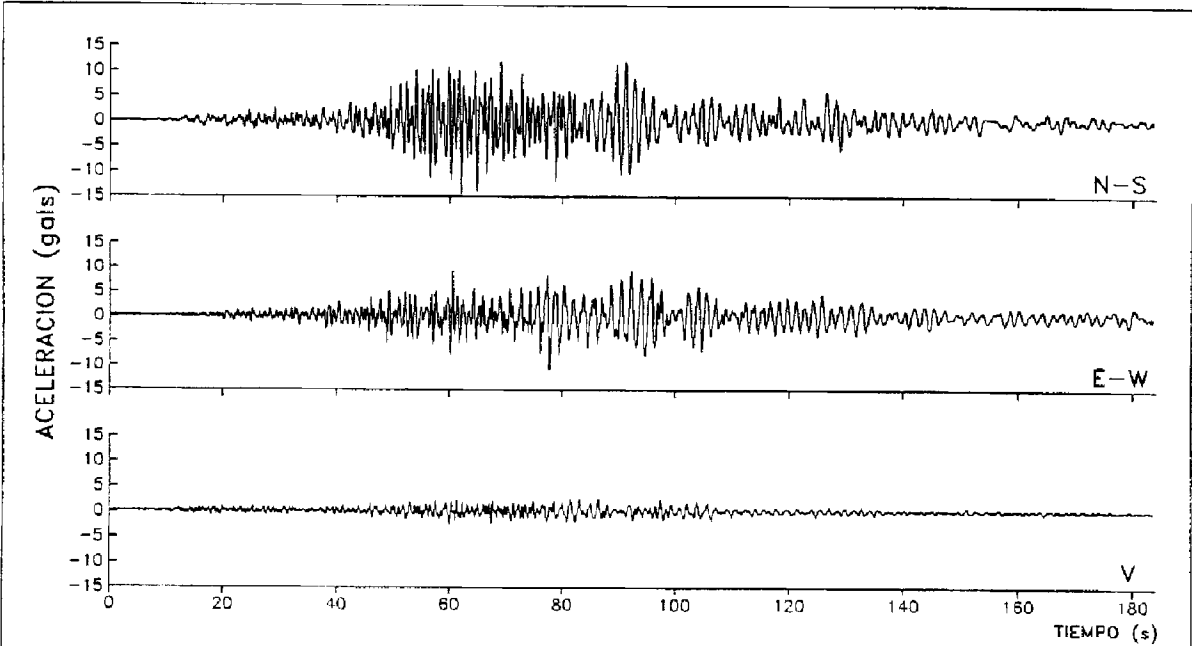


ESPECTROS DE RESPUESTA (amortiguamientos 2,5,10,20%)

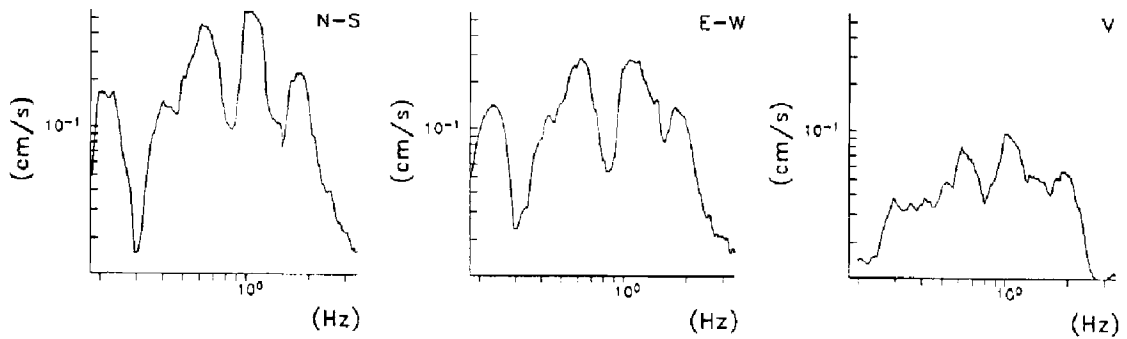


Registro C93120

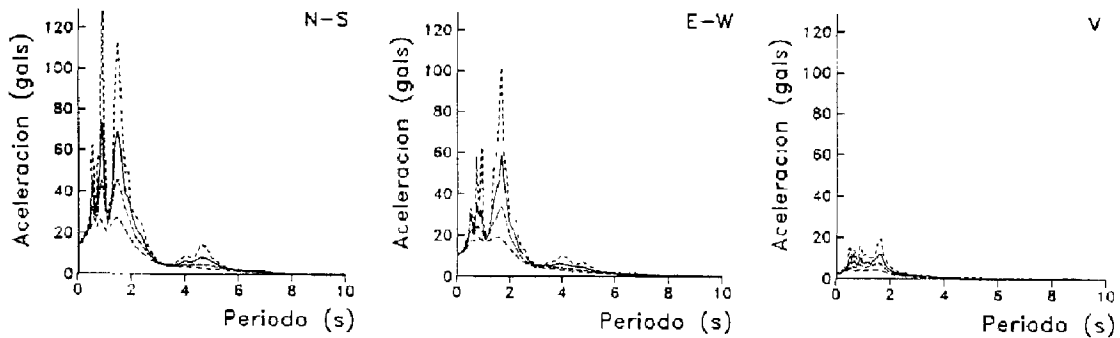
ESTACION No.8, ZARAGOZA, pozo 30m		
Fecha:	24 de octubre, 1993	Amax (N-S) -14.53
Hora:	07:52 58.0 [GMT]	[gals] (E-W): -10.96
Duración:	183.46 s	(V): -2.56
		SMAC-MD
		ZAR19310.241
		CENAPRED



ESPECTROS DE FOURIER



ESPECTROS DE RESPUESTA (amortiguamientos 2,5,10,20%)



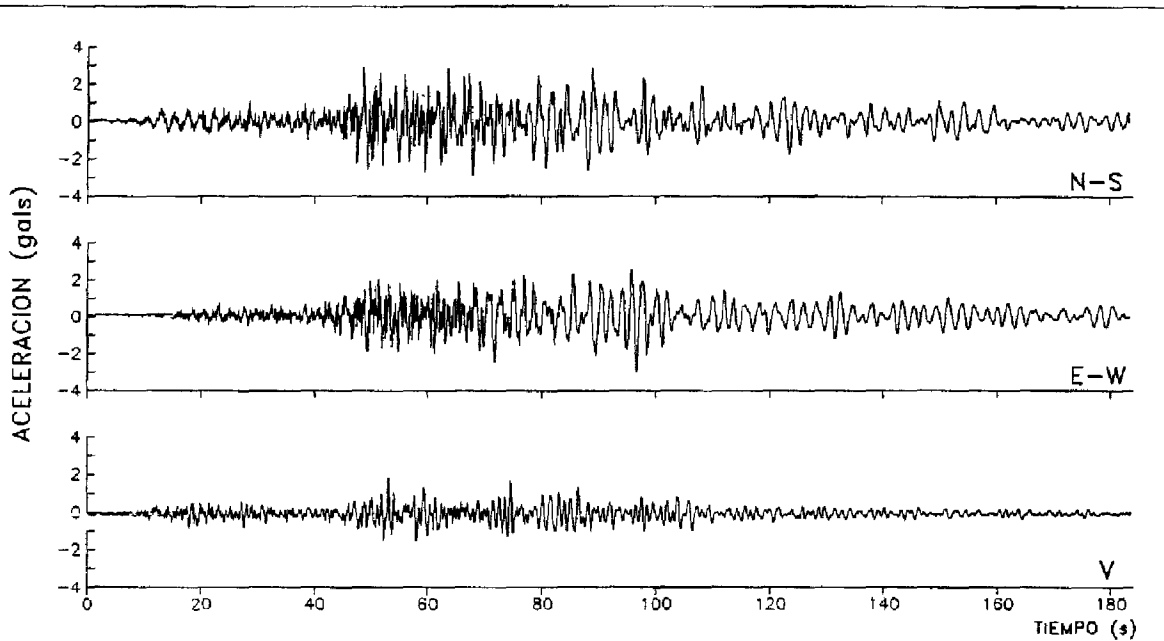
Registro C93121

ESTACION No.8, ZARAGOZA, pozo 83m

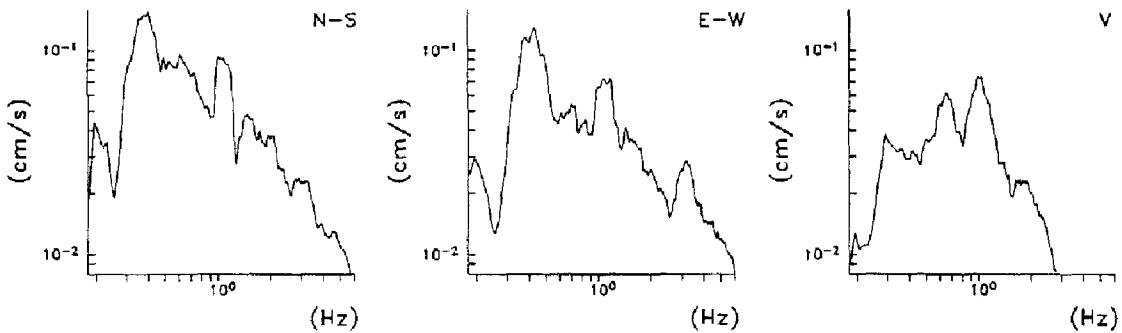
Fecha: 24 de octubre, 1993
 Hora: 07:52.58.0 [GMT]
 Duracion: 183.46 s

Amax (N-S) 2.93
 [gals] (E-W) -3.02
 (V) 1.98

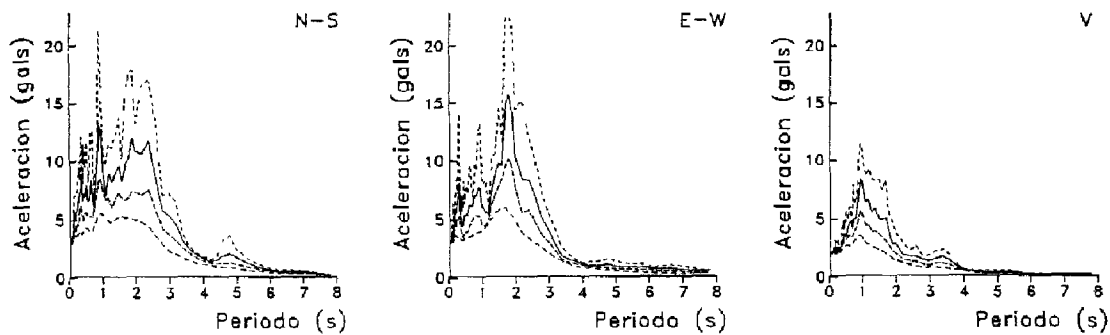
SMAC-MD
 ZAR29310.241
 CENAPRED



ESPECTROS DE FOURIER



ESPECTROS DE RESPUESTA (amortiguamientos 2,5,10,20%)



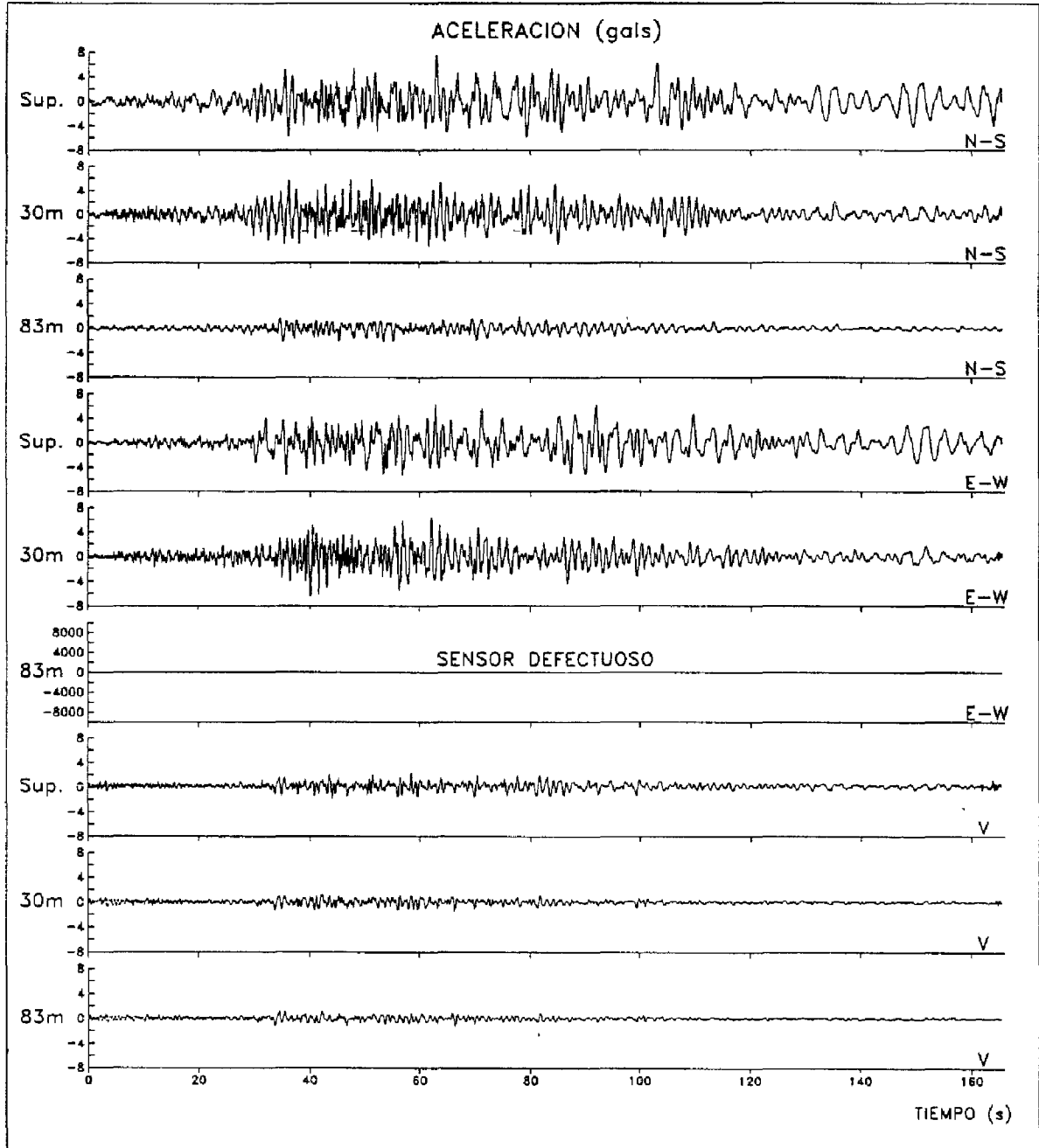
Registro C93122

ESTACION No.9, U. KENNEDY

Fecha: 24 de octubre, 1993
 Hora: 07:53 13 [GMT]
 Duracion: 165.54 s

SMAC-MD
 UNKX9310.241
 CENAPRED

MAXIMOS[gals]	SUPERFICIE	POZO 30m	POZO 83m
NORTE-SUR.	7.63	6.13	-2.26
ESTE-OESTE	6.38	-6.56	----
VERTICAL:	2.44	-1.56	-1.34



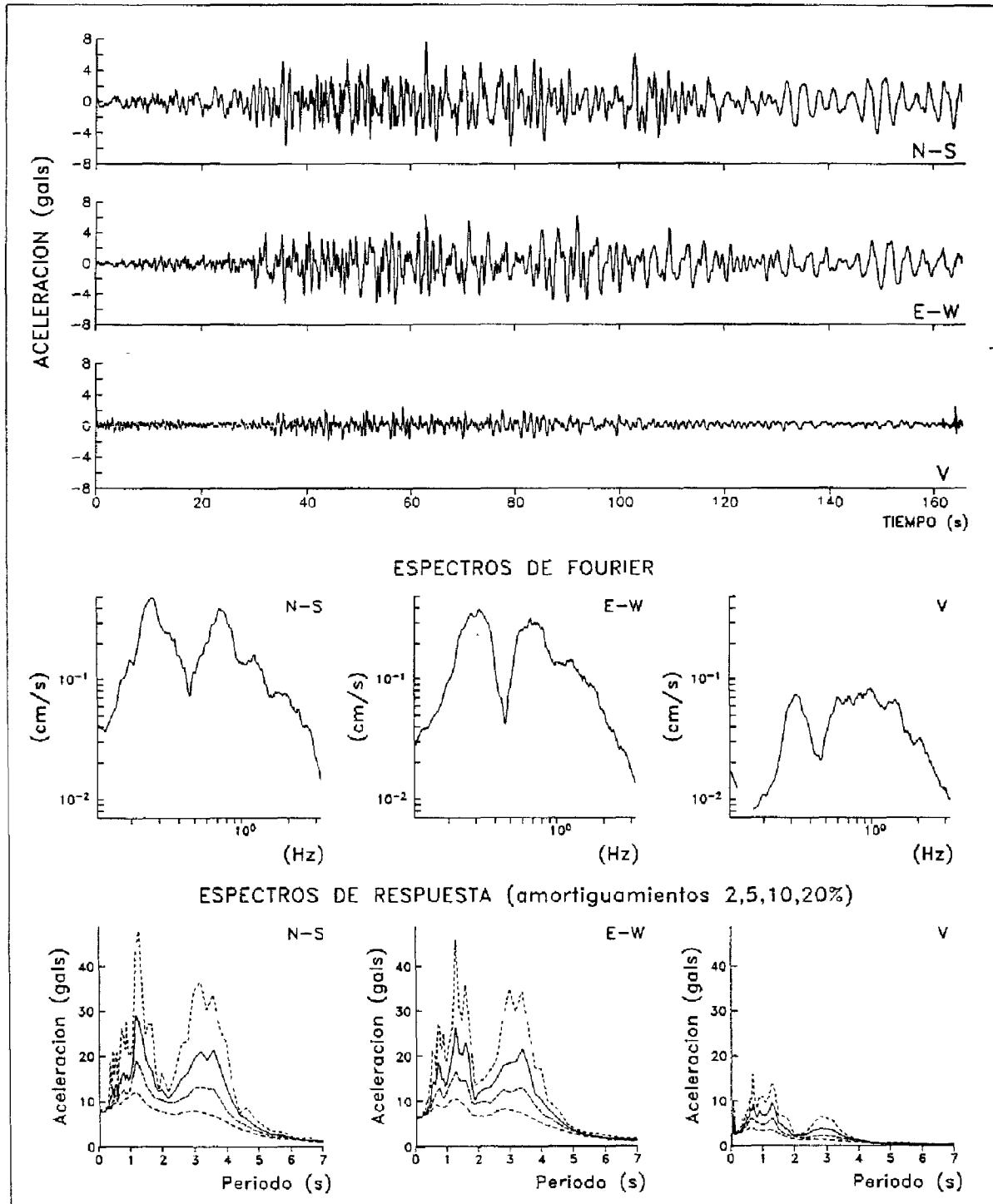
Registros C93123, C93124, C93125

ESTACION No.9, U. KENNEDY, superficie

Fecha: 24 de octubre, 1993
 Hora: 07:53:13 [GMT]
 Duracion: 165.54 s

Amax (N-S) 7.63
 [gals] (E-W): 6.38
 (V): 2.44

SMAC-MD
 UNKS9310.241
 CENAPRED



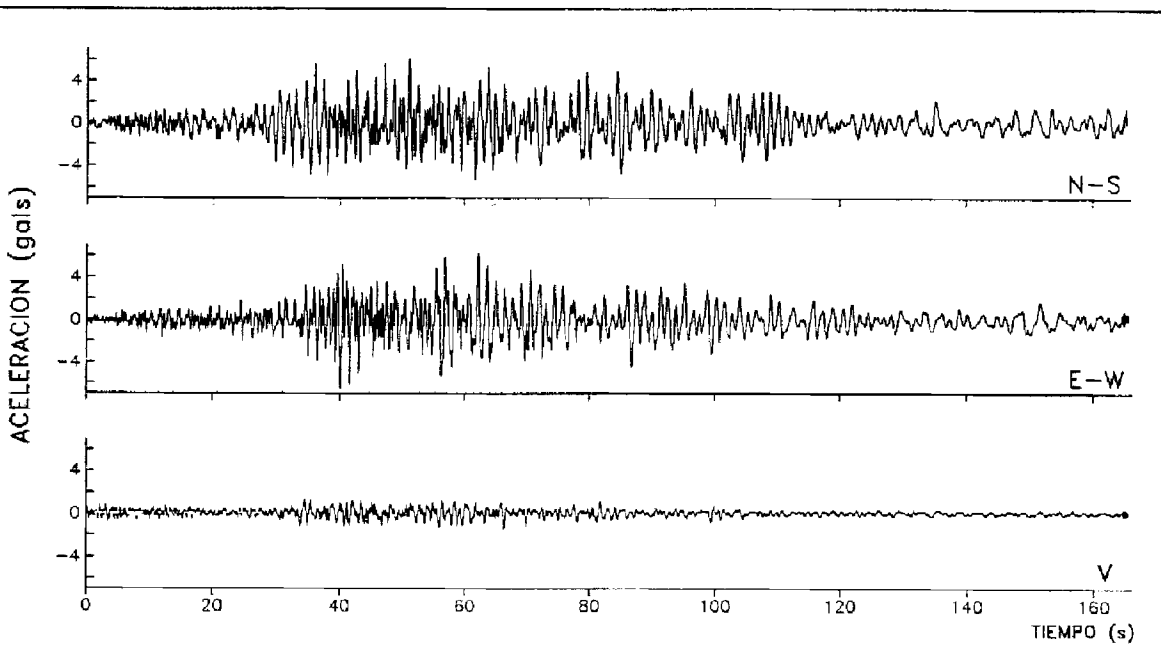
Registro C93123

ESTACION No.9, U. KENNEDY, pozo 30m

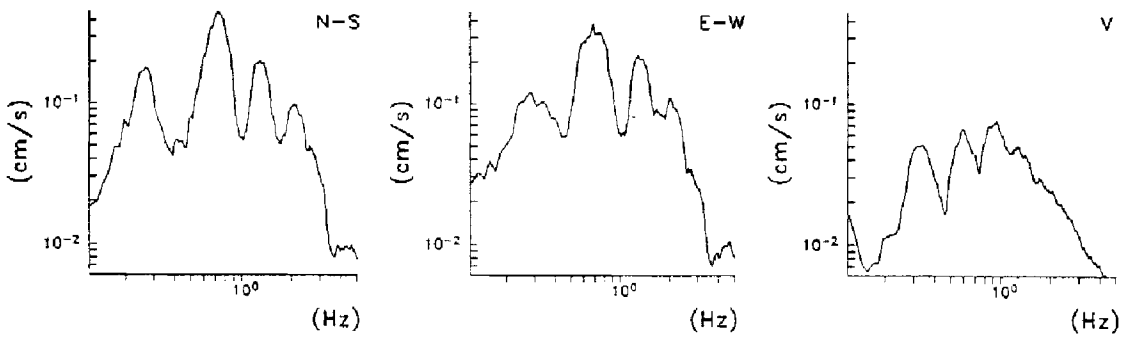
Fecha: 24 de octubre, 1993
 Hora: 07:53:13 [GMT]
 Duracion: 165.54 s

Amax (N-S) 6.13
 [gals] (E-W): -6.56
 (V): -1.56

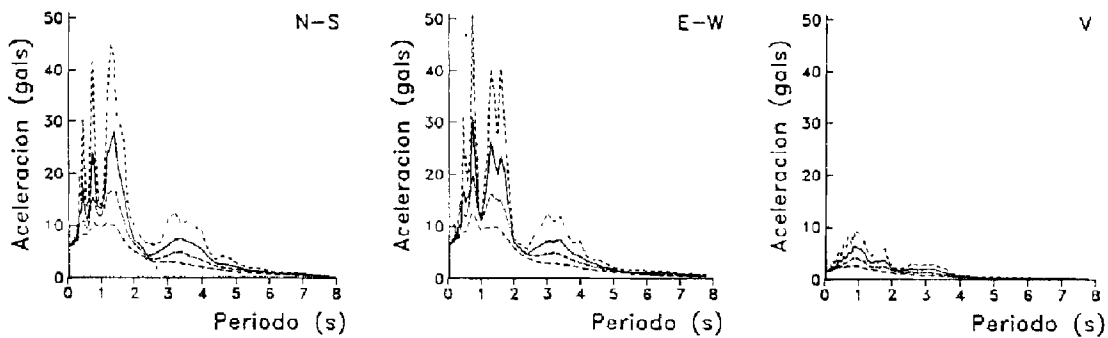
SMAC-MD
 UNK19310.241
 CENAPRED



ESPECTROS DE FOURIER



ESPECTROS DE RESPUESTA (amortiguamientos 2,5,10,20%)



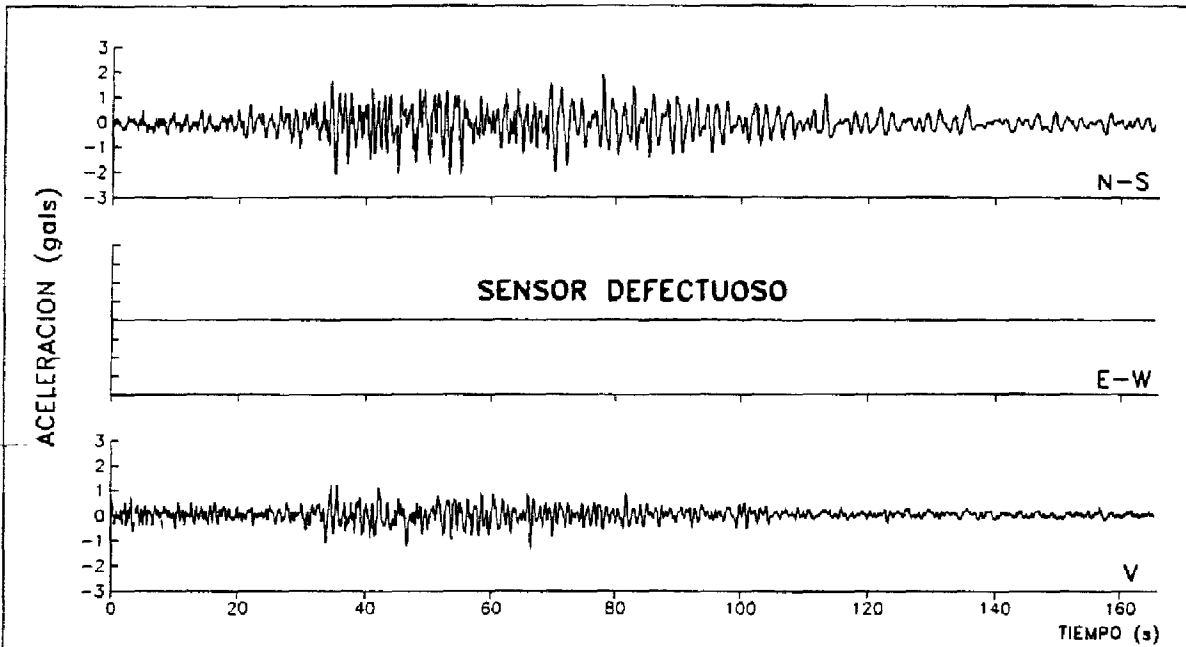
Registro C93124

ESTACION No.9, U. KENNEDY, pozo 83m

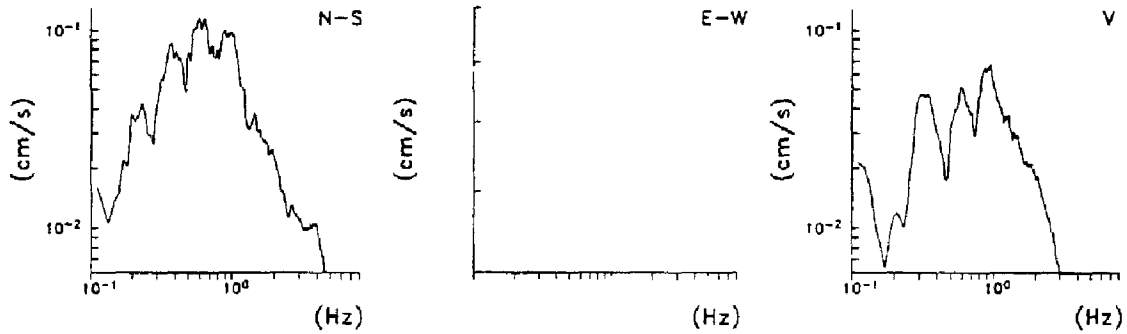
Fecha: 24 de octubre, 1993
 Hora: 07.53:13 [GMT]
 Duracion. 165.54 s

Amax (N-S): -2.26
 [gals] (E-W): ----
 (V): -1.34

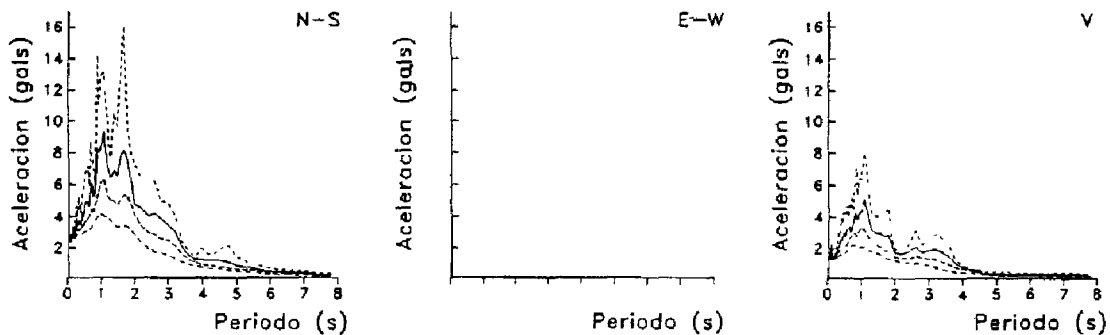
SMAC-MD
 UNK29310.241
 CENAPRED



ESPECTROS DE FOURIER



ESPECTROS DE RESPUESTA (amortiguamientos 2,5,10,20%)

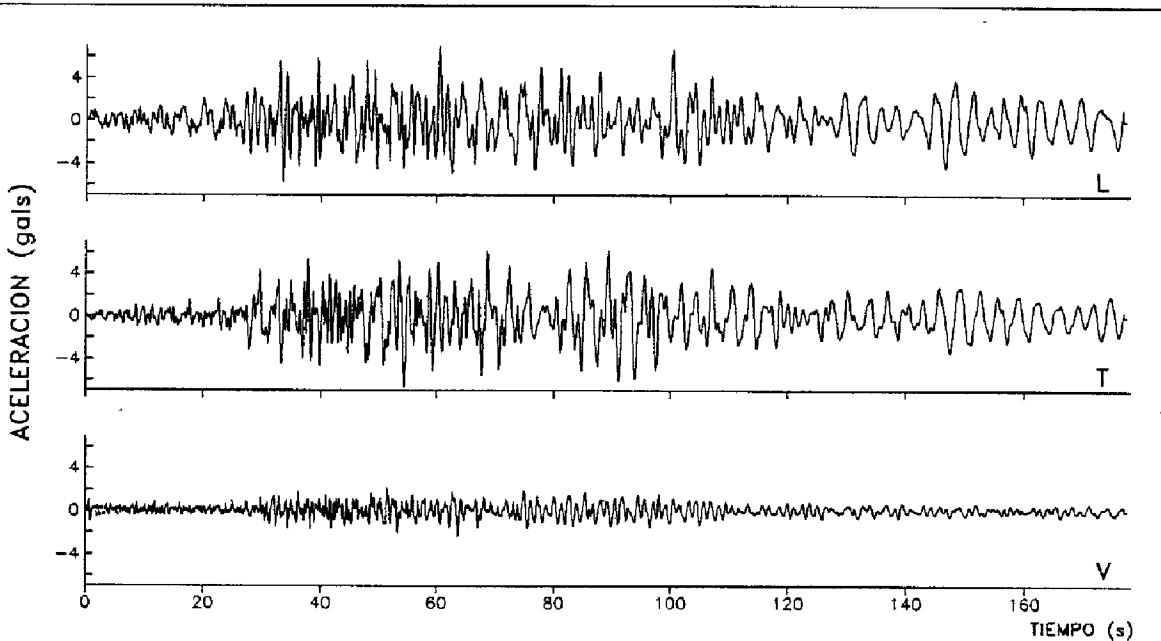


Registro C93125

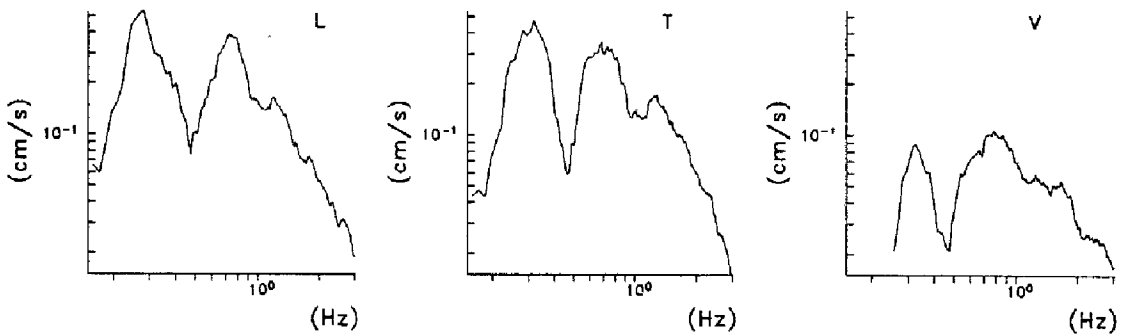
ESTACION No.9, U. KENNEDY, base Edif.

Fecha: 24 de octubre, 1993
 Hora: 07:53:15 [GMT]
 Duracion: 177.49 s

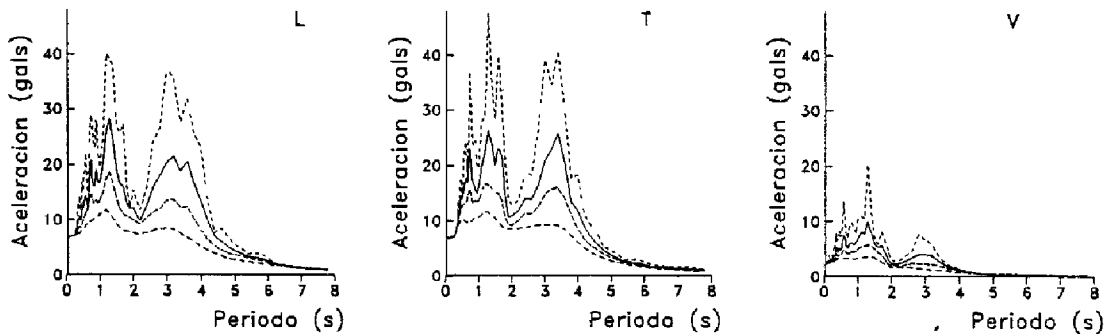
Amax (L): 6.93 SMAC-MD
 [gals] (T): -6.84 UNK39310.241
 (V): -2.41 CENAPRED



ESPECTROS DE FOURIER



ESPECTROS DE RESPUESTA (amortiguamientos 2,5,10,20%)



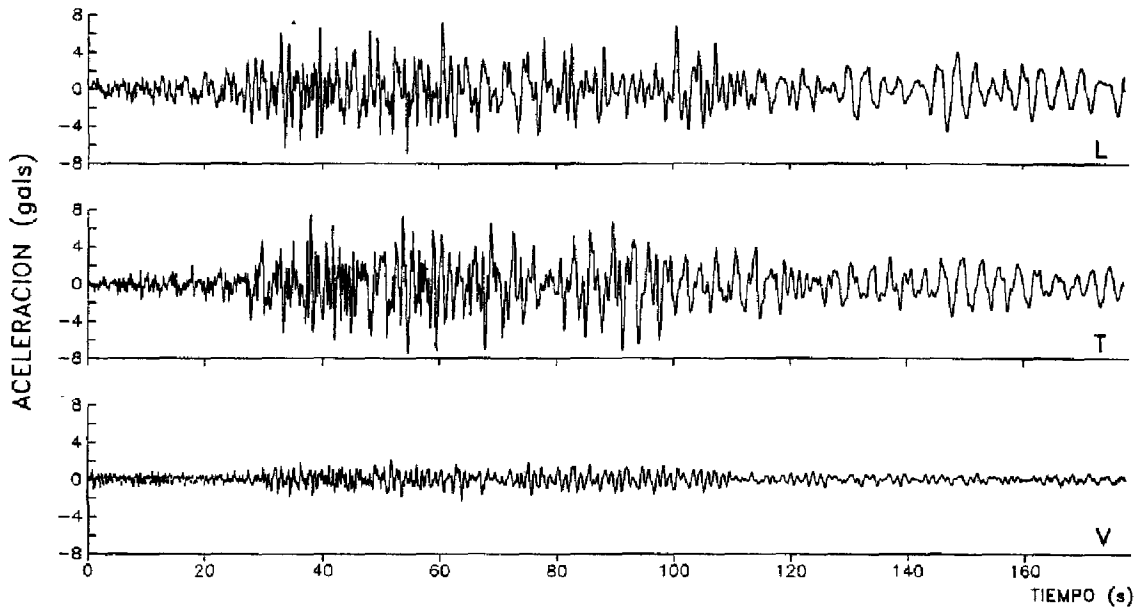
Registro C93126

ESTACION No.9, U. KENNEDY, azotea Edif.

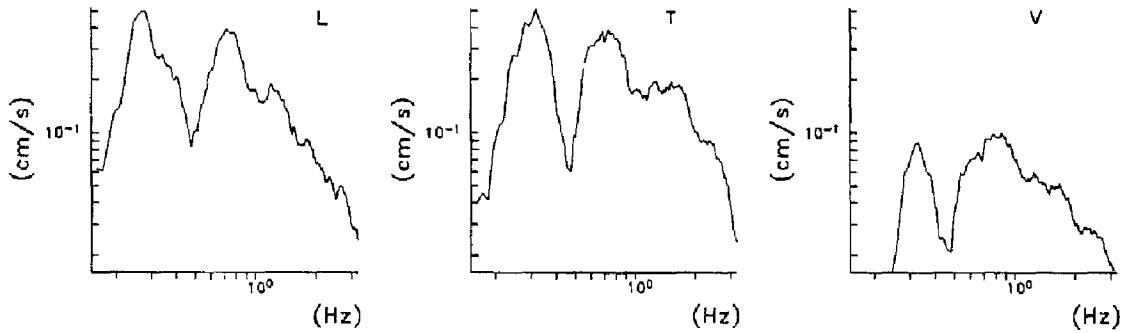
Fecha: 24 de octubre, 1993
 Hora: 07:53:15 [GMT]
 Duracion: 177.49 s

Amax (L): 7.14
 [gals] (T): 7.60
 (V): -2.41

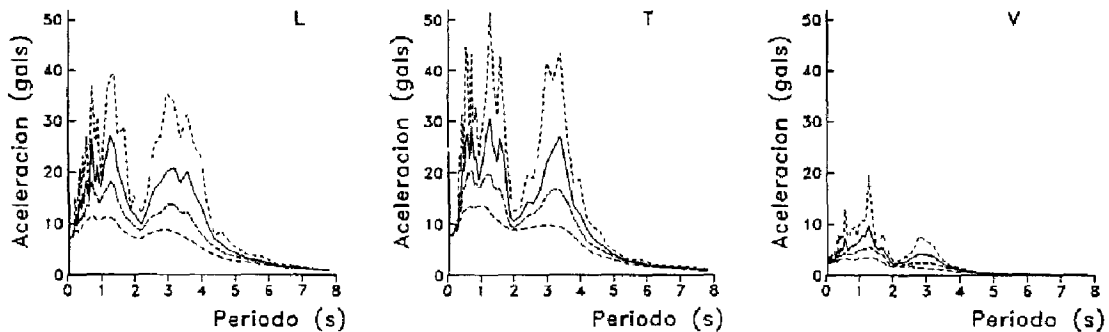
SMAC-MD
 UNK49310.241
 CENAPRED



ESPECTROS DE FOURIER



ESPECTROS DE RESPUESTA (amortiguamientos 2,5,10,20%)



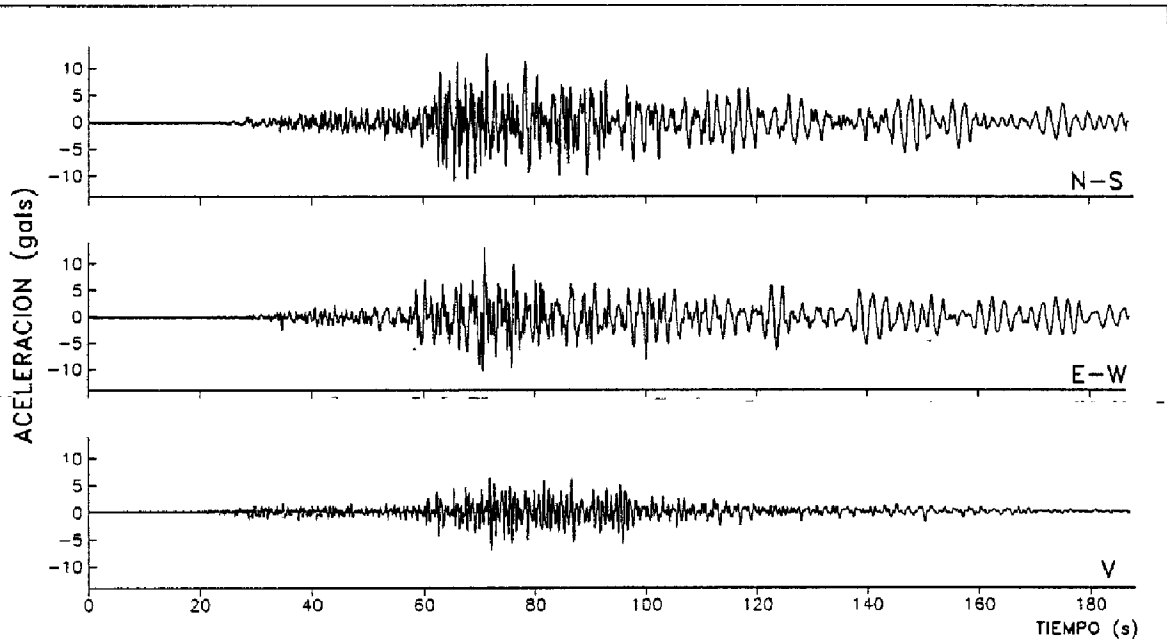
Registro C93127

ESTACION No.10, ROMA-A, superficie

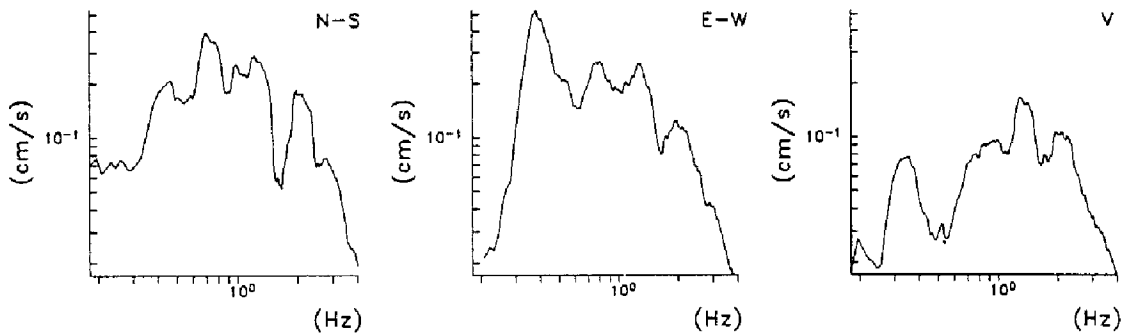
Fecha: 24 de octubre, 1993
 Hora: 07:52:44 [GMT]
 Duracion: 187.30 s

Amax (N-S): 12.76
 [gals] (E-W): 13.24
 (V) -6.96

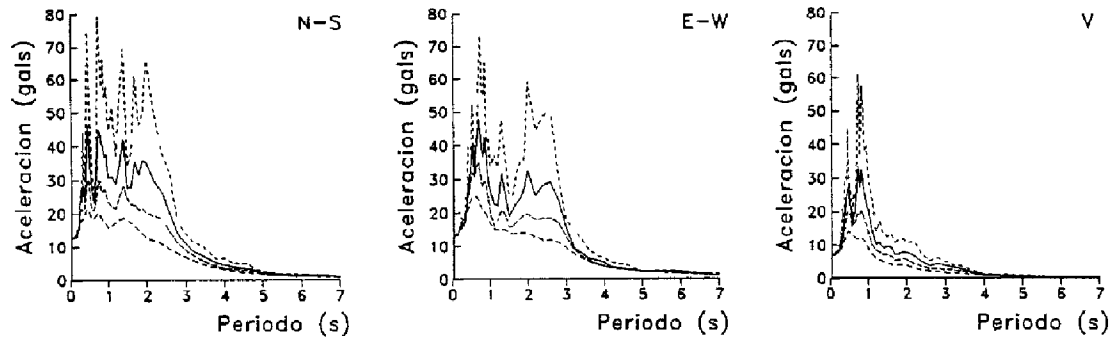
SMAC-MD
 RMA59310.241
 CENAPRED



ESPECTROS DE FOURIER



ESPECTROS DE RESPUESTA (amortiguamientos 2,5,10,20%)



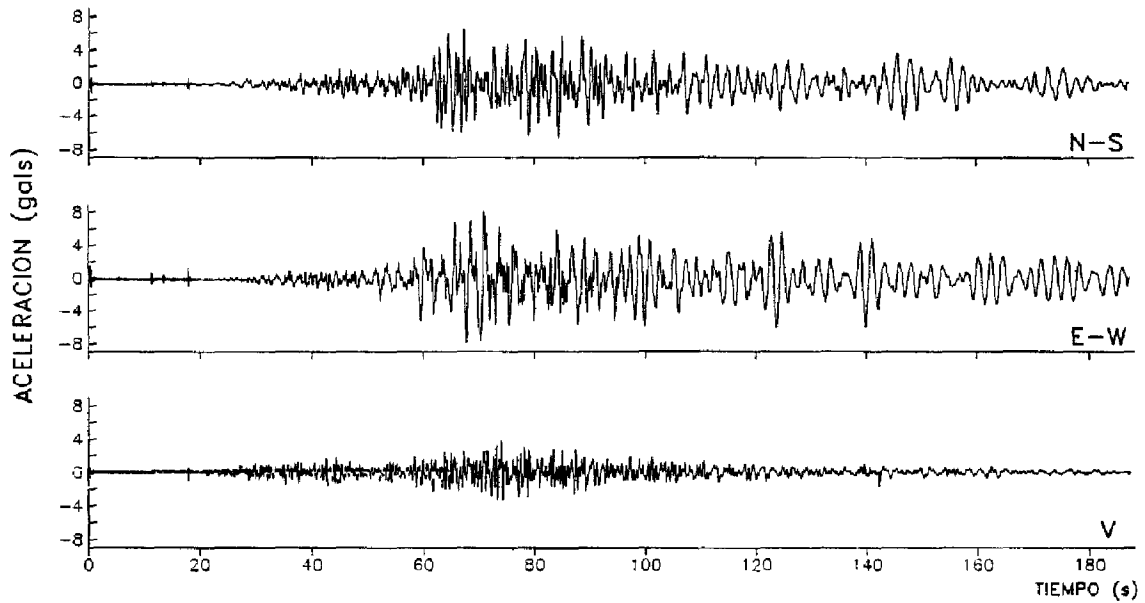
Registro C93128

ESTACION No.11, ROMA-B, superficie

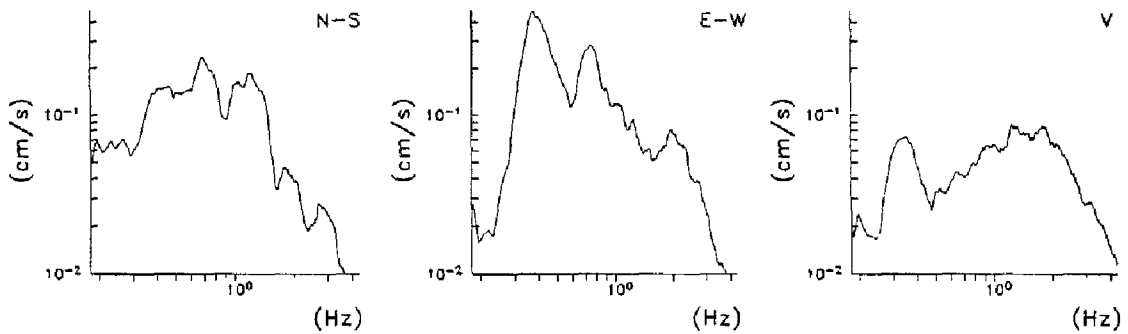
Fecha: 24 de octubre, 1993
 Hora: 07:52:44 [GMT]
 Duracion: 187.30 s

Amax (N-S) -6.65
 [gals] (E-W) 8.21
 (V): 3.94

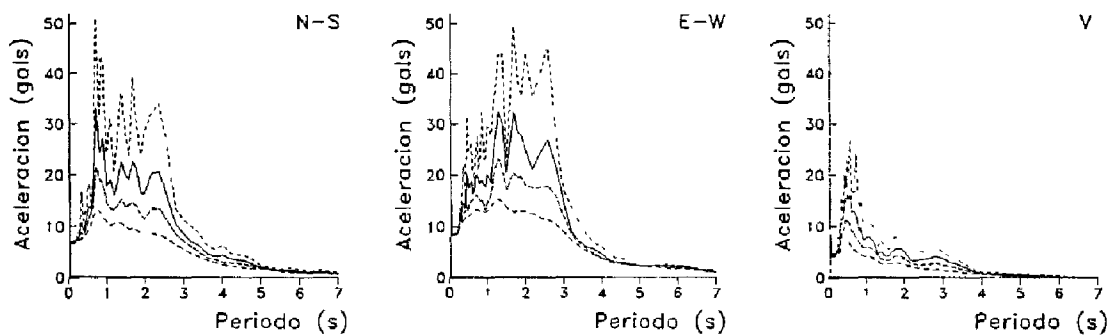
SMAC-MD
 RMBS9310.241
 CENAPRED



ESPECTROS DE FOURIER



ESPECTROS DE RESPUESTA (amortiguamientos 2,5,10,20%)



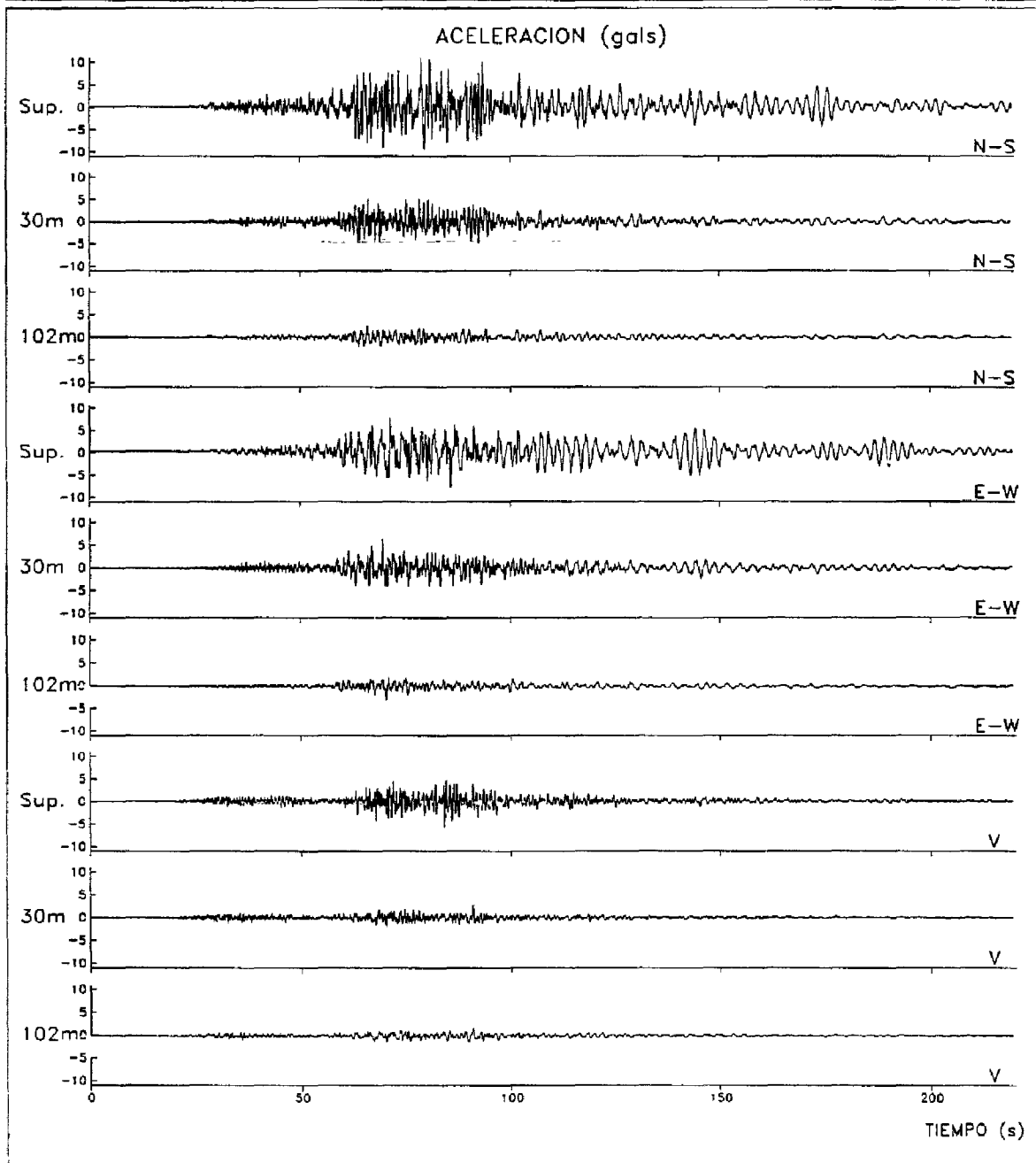
Registro C93129

ESTACION No.12, ROMA-C

Fecha: 24 de octubre, 1993
 Hora: 07:52:43 [GMT]
 Duracion: 219.30 s

SMAC-MD
 RMCX9310.241
 CENAPRED

MAXIMOS[gals]	SUPERFICIE	POZO 30m	POZO 102m
NORTE-SUR:	10.99	5.25	2.56
ESTE-OESTE	7.87	6.38	-3.33
VERTICAL:	-5.74	2.93	1.68



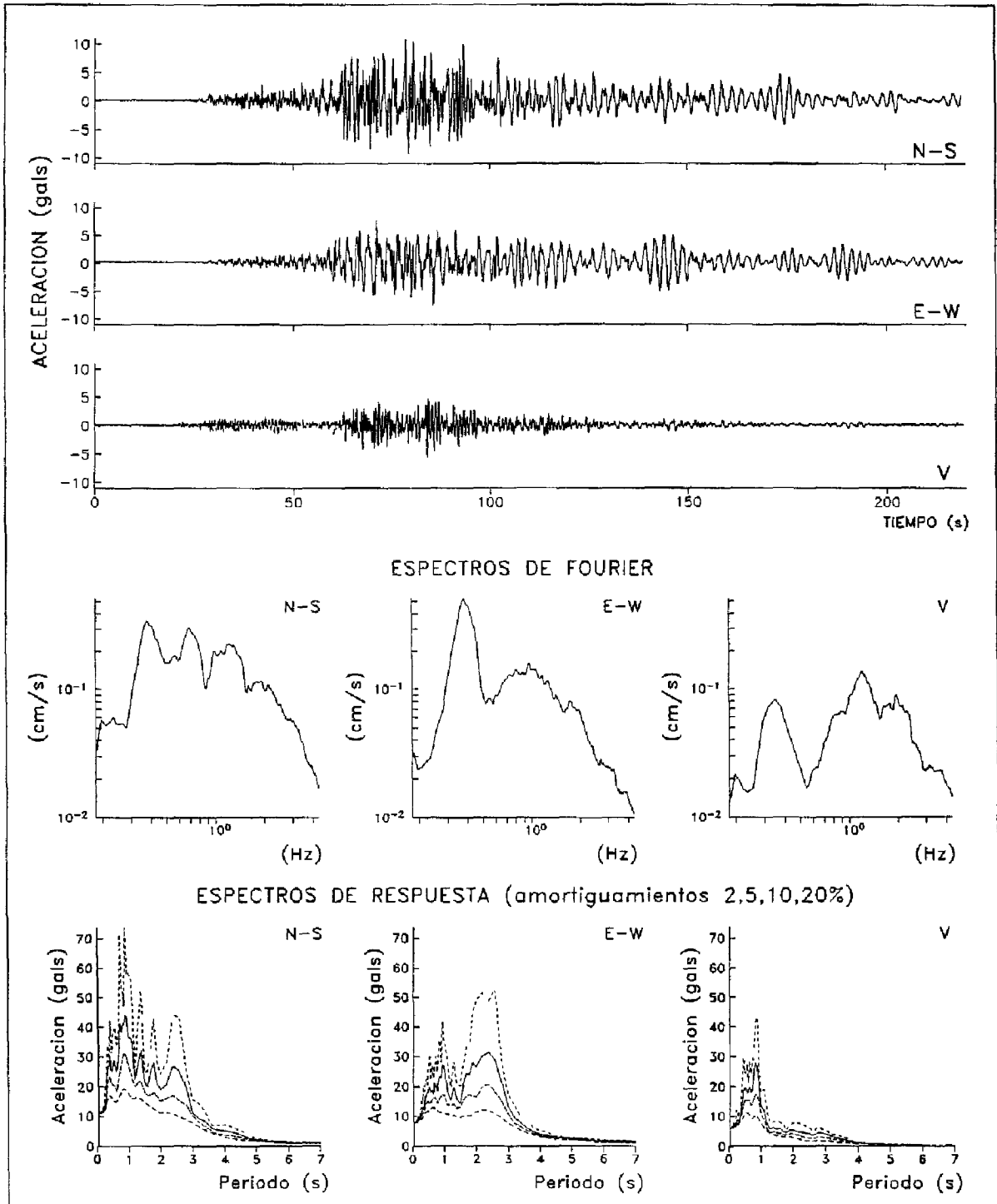
Registros C93130, C93131, C93132

ESTACION No.12, ROMA-C, superficie

Fecha: 24 de octubre, 1993
 Hora: 07 52:43 [GMT]
 Duracion: 219.30 s

Amax (N-S): 10.99
 [gals] (E-W): 7.87
 (V): -5.74

SMAC-MD
 RMCS9310.241
 CENAPRED



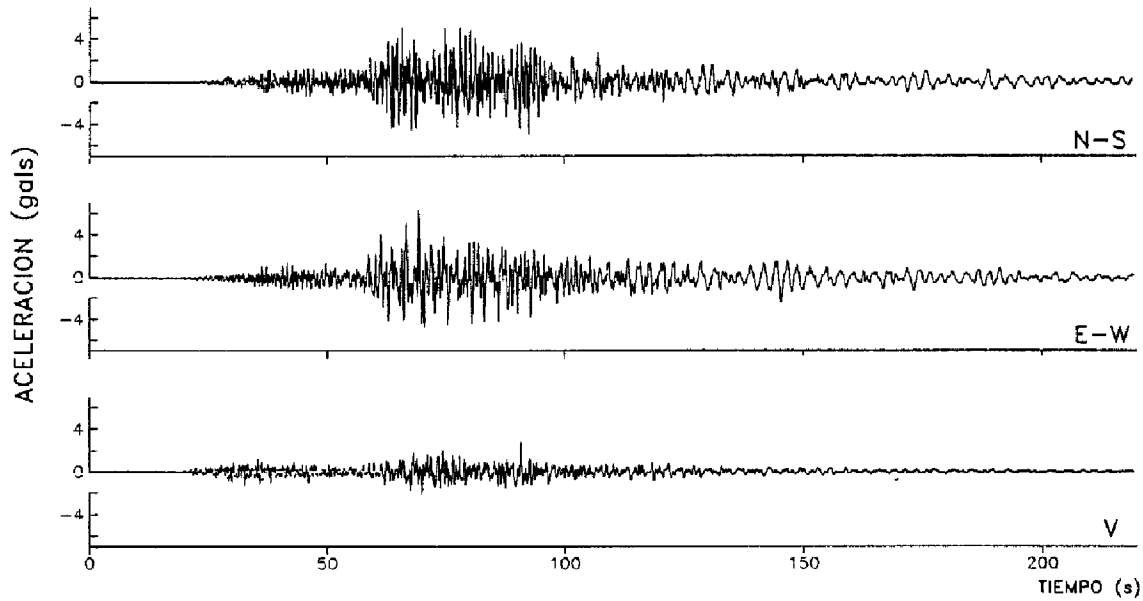
Registro C93130

ESTACION No.12, ROMA-C, pozo 30m

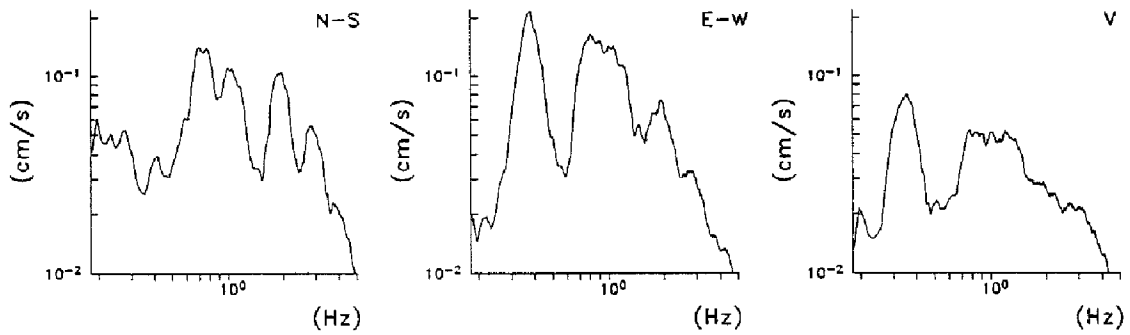
Fecha: 24 de octubre, 1993
Hora: 07:52:43 [GMT]
Duracion: 219.30 s

Amax (N-S) 5.25
[gals] (E-W): 6.38
(V): 2.93

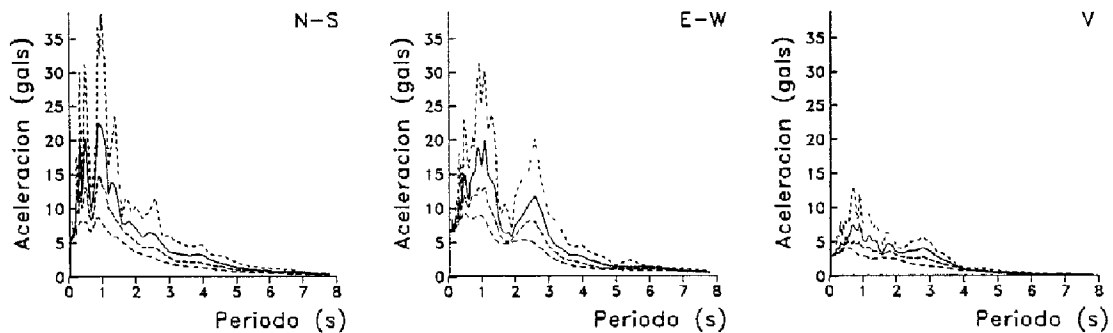
SMAC-MD
RMC19310.241
CENAPRED



ESPECTROS DE FOURIER



ESPECTROS DE RESPUESTA (amortiguamientos 2,5,10,20%)



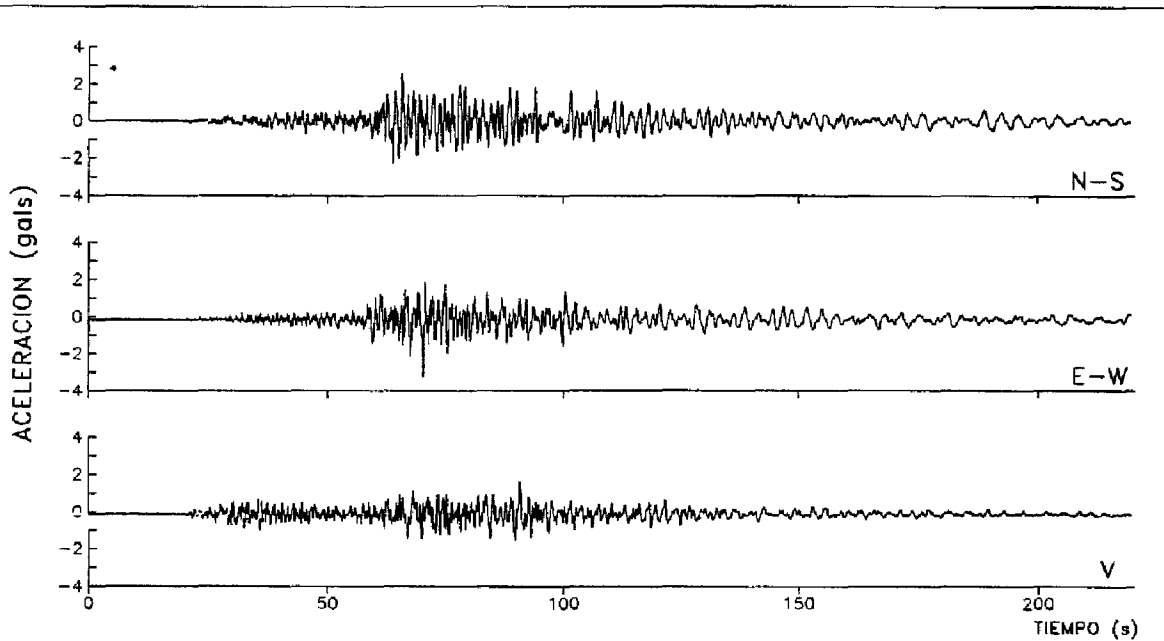
Registro C93131

ESTACION No.12. ROMA-C, pozo 102m

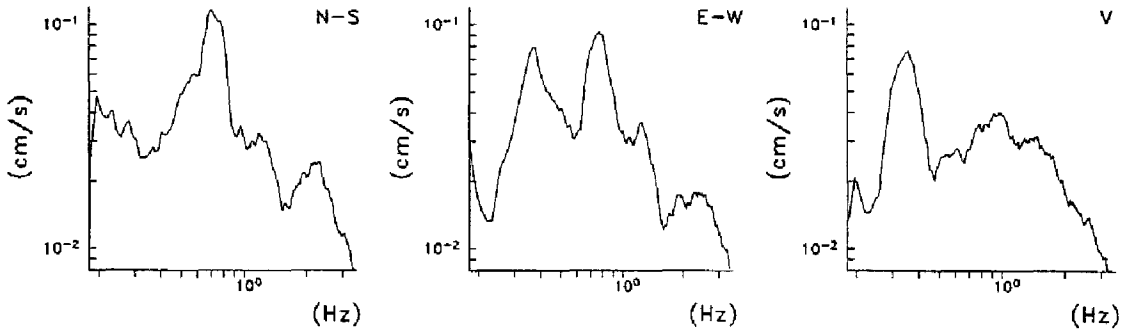
Fecha: 24 de octubre, 1993
 Hora: 07:52:43 [GMT]
 Duracion: 219.30 s

Amax (N-S): 2.56
 [gals] (E-W): -3.33
 (V): 1.68

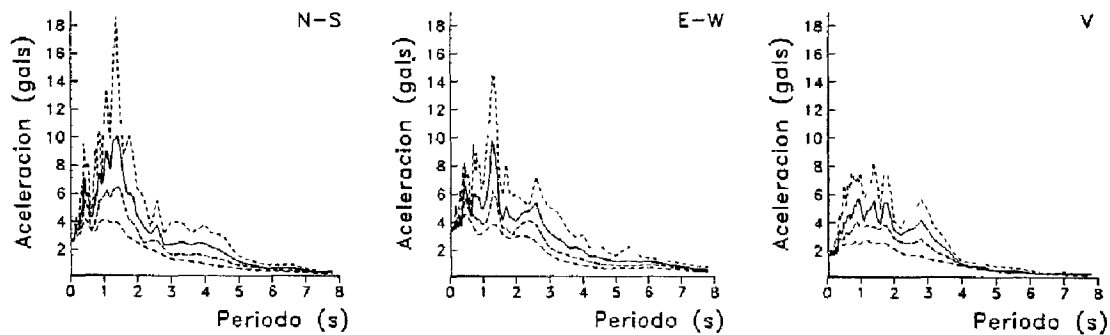
SMAC-MD
 RMC29310.241
 CENAPRED



ESPECTROS DE FOURIER



ESPECTROS DE RESPUESTA (amortiguamientos 2,5,10,20%)



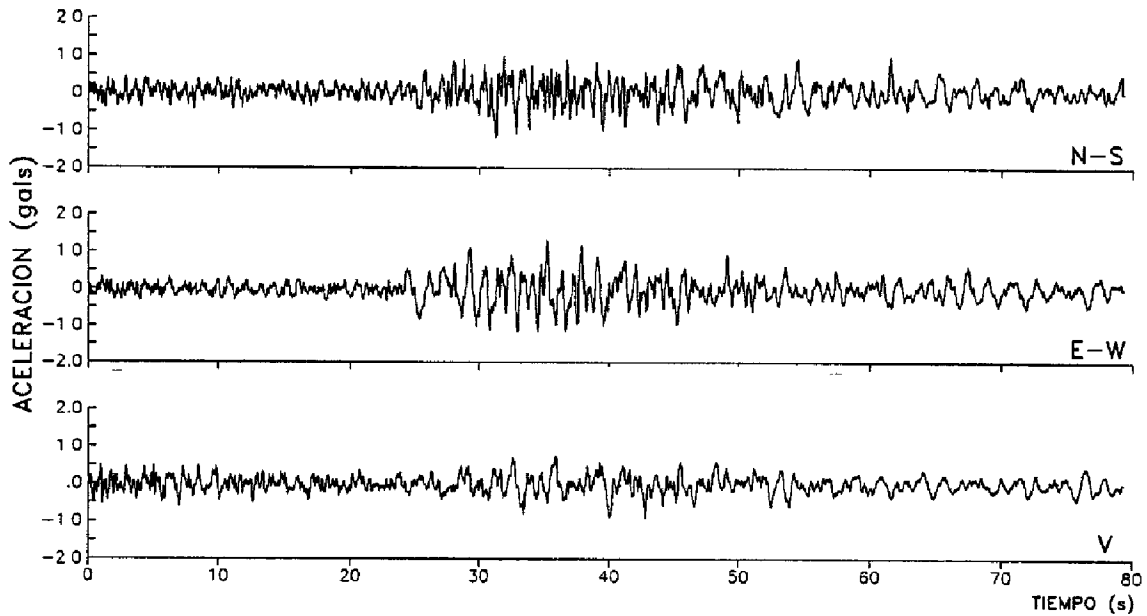
Registro C93132

ESTACION No.13, ESTANZUELA, superficie

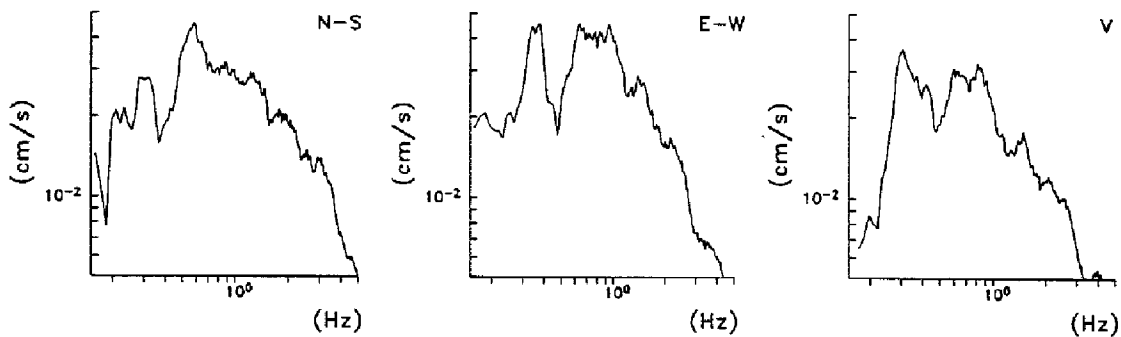
Fecha: 24 de octubre, 1993
 Hora: 07:53:18.6 [GMT]
 Duracion: 79.36 s

Amax (N-S): -1.19
 [gals] (E-W): 1.37
 (V): -0.92

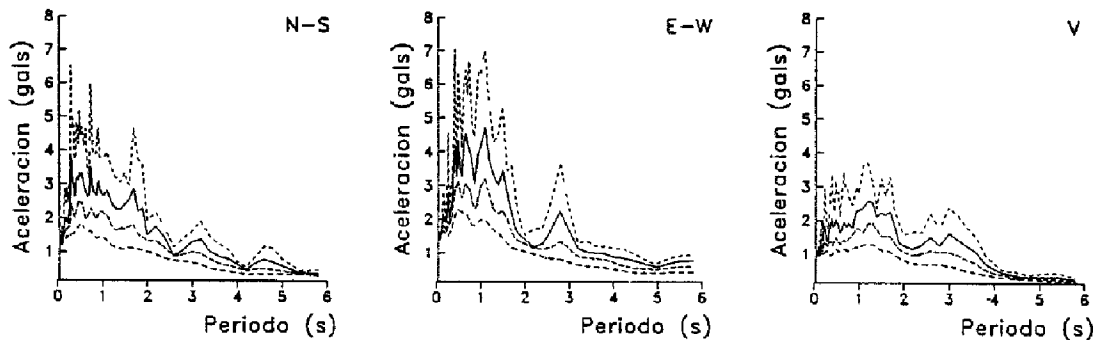
SMAC-MD
 ESTS9310.241
 CENAPRED



ESPECTROS DE FOURIER



ESPECTROS DE RESPUESTA (amortiguamientos 2,5,10,20%)



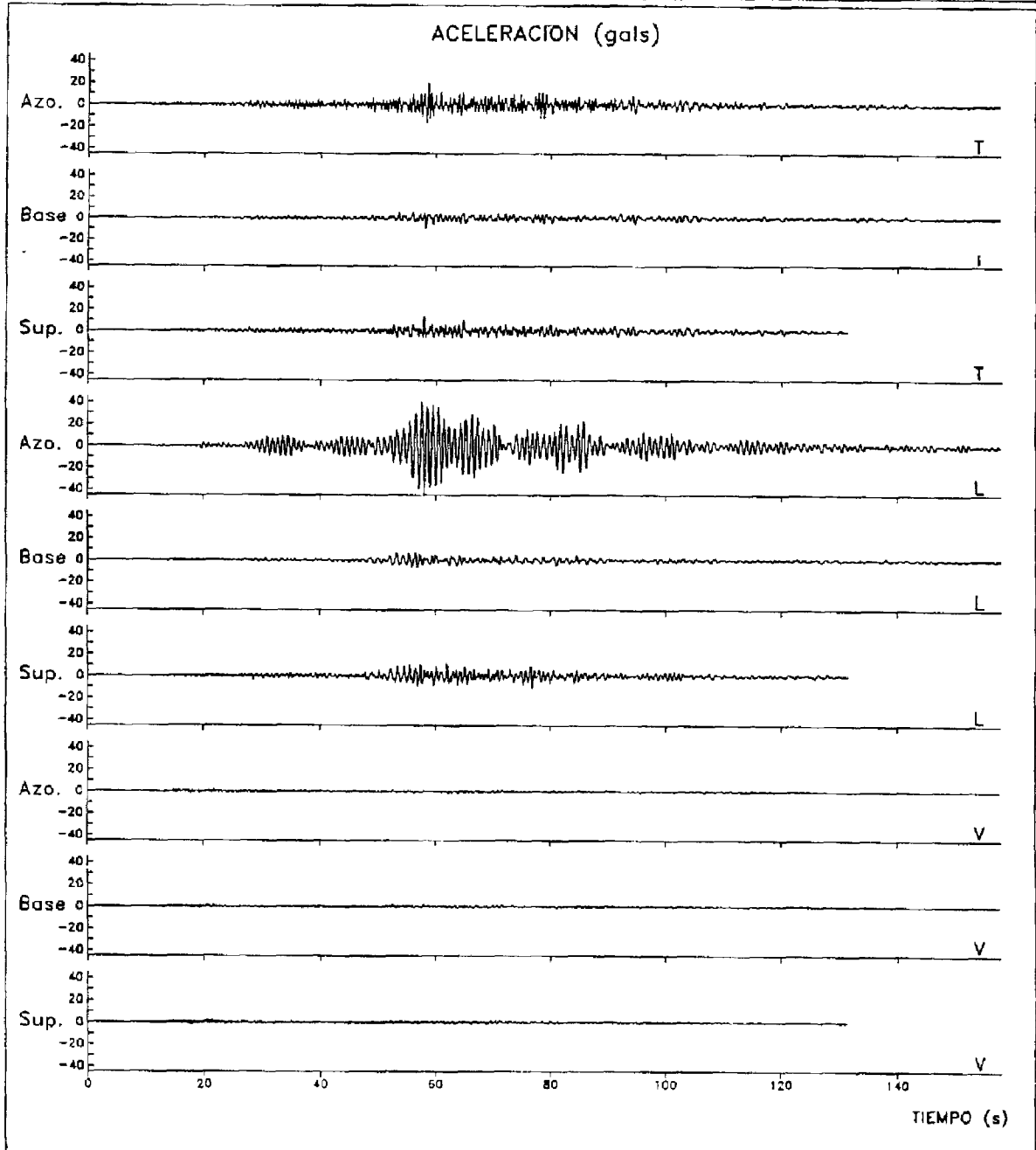
Registro C93133

ESTACION No.15, IMP

Fecha 24 de octubre, 1993
 Hora: 07:52:53.0 [GMT]
 Duracion: 158.86 s

SMAC-MD
 IMPX9310.241
 CENAPRED

MAXIMOS[gals]	AZOTEA	BASE	SUPERFICIE
TRANSVERSAL	19.29	-9.40	14.65
LONGITUDINAL	-44.71	-7.42	12.08
VERTICAL	2.53	1.89	-2.72



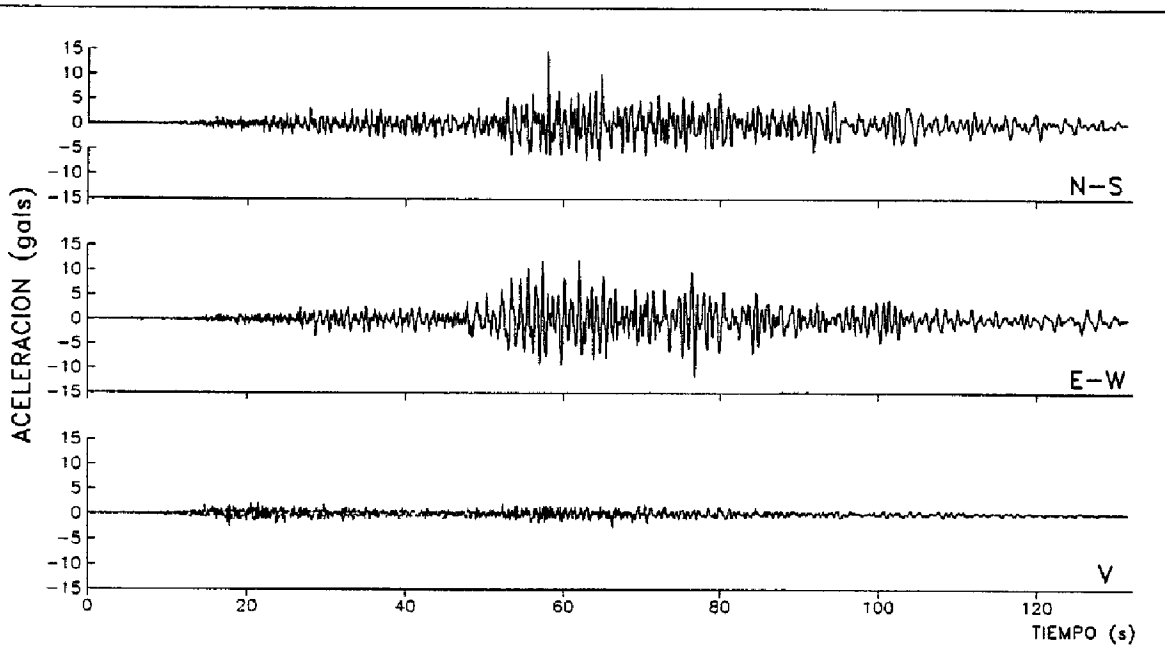
Registros C93134, C93135, C93136

ESTACION No.15, IMP, superficie

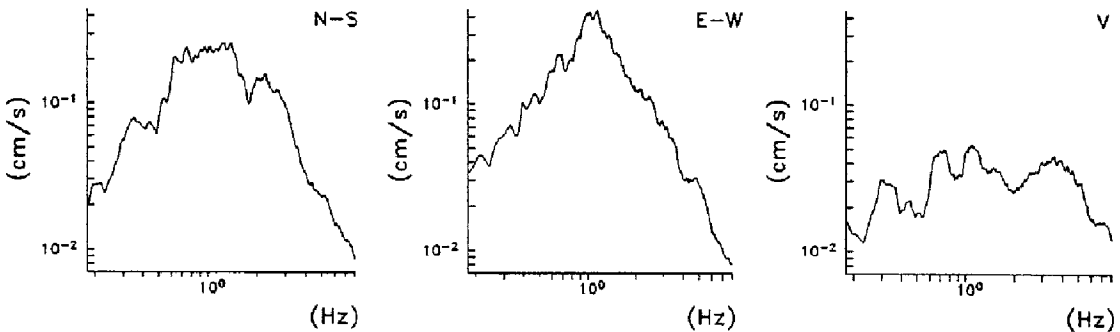
Fecha: 24 de octubre, 1993
 Hora: 07:52:54 [GMT]
 Duracion: 131.41 s

Amax (N-S): 14.65
 [gals] (E-W): 12.08
 (V): -2.72

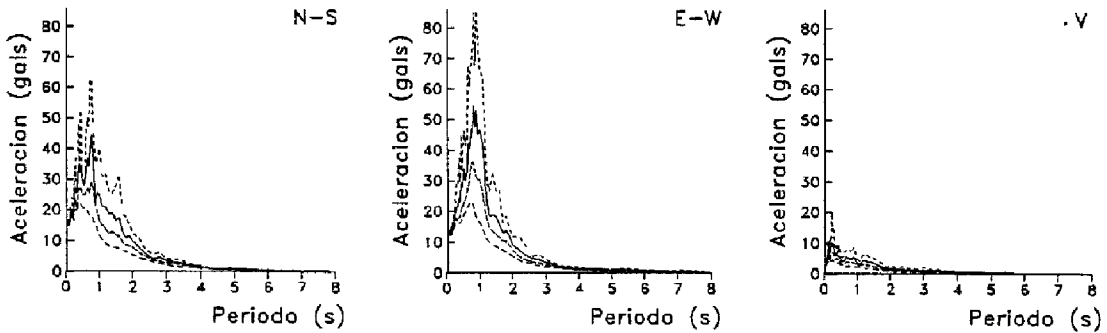
SMAC-MD
 IMPS9310.241
 CENAPRED



ESPECTROS DE FOURIER



ESPECTROS DE RESPUESTA (amortiguamientos 2,5,10,20%)



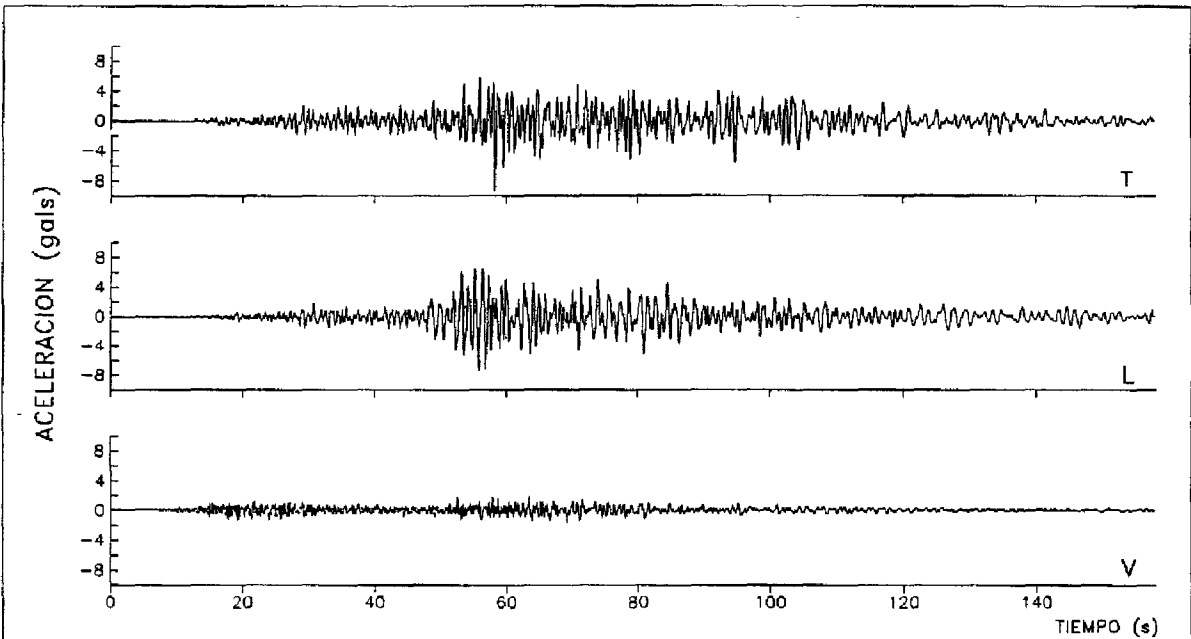
Registro C93134

ESTACION No.15, IMP, base Edif.

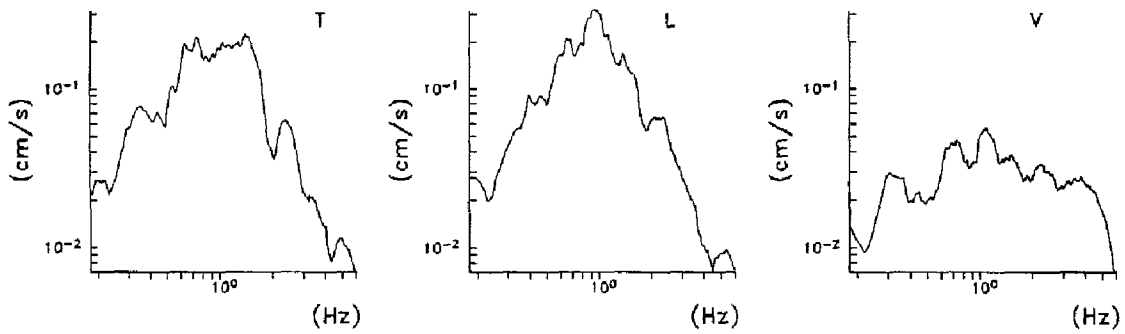
Fecha: 24 de octubre, 1993
 Hora: 07:52:53 [GMT]
 Duracion: 157.86 s

Amax (T): -9.40
 [gals] (L): -7.42
 (V): 1.89

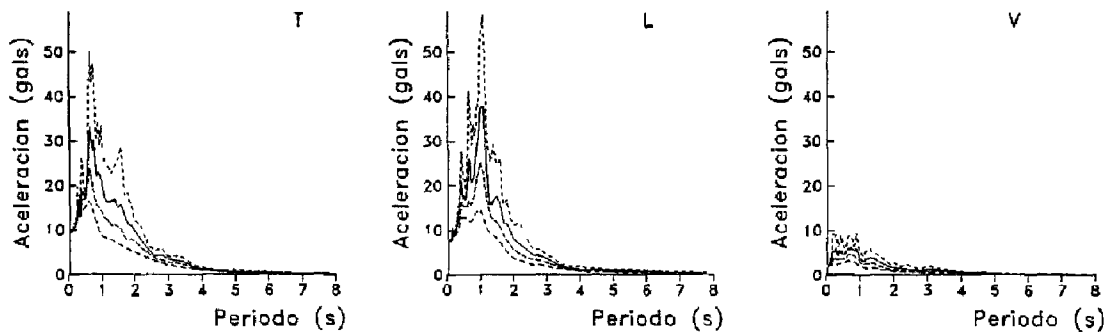
SMAC-MD
 IMP39310.241
 CENAPRED



ESPECTROS DE FOURIER



ESPECTROS DE RESPUESTA (amortiguamientos 2,5,10,20%)

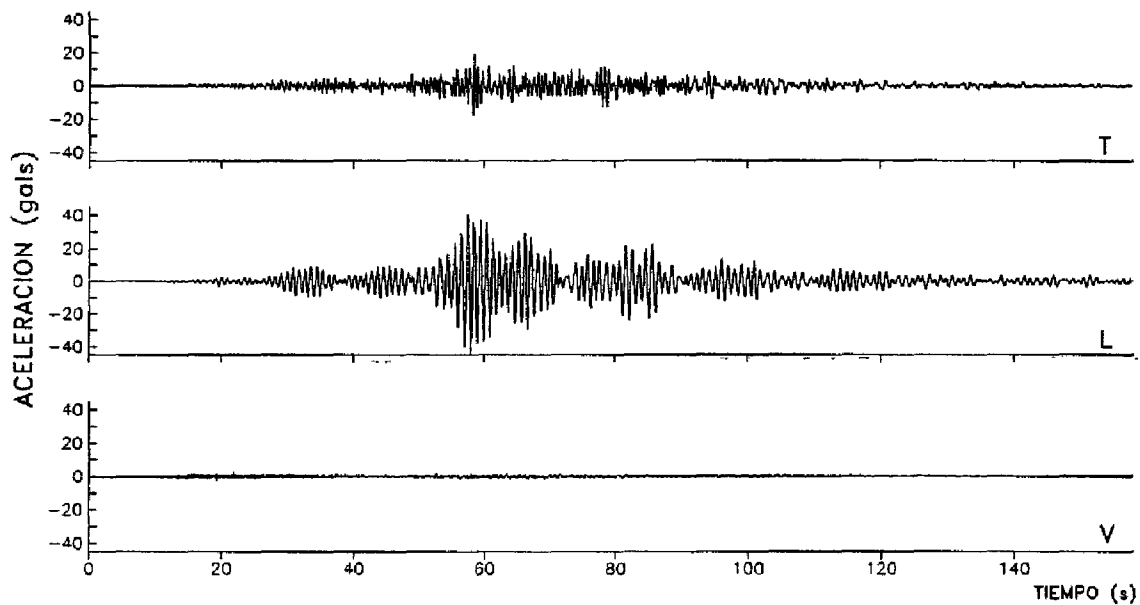


Registro C93135

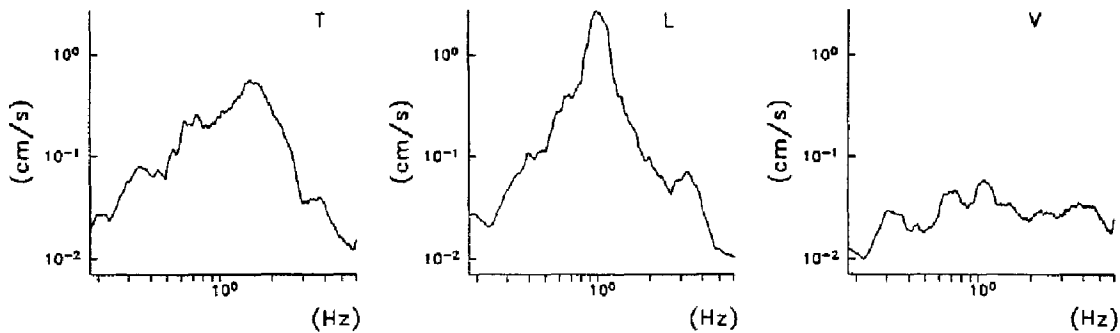
ESTACION No.15, IMP, azotea Edif.

Fecha: 24 de octubre, 1993
 Hora: 07:52:53 [GMT]
 Duracion: 157.86 s

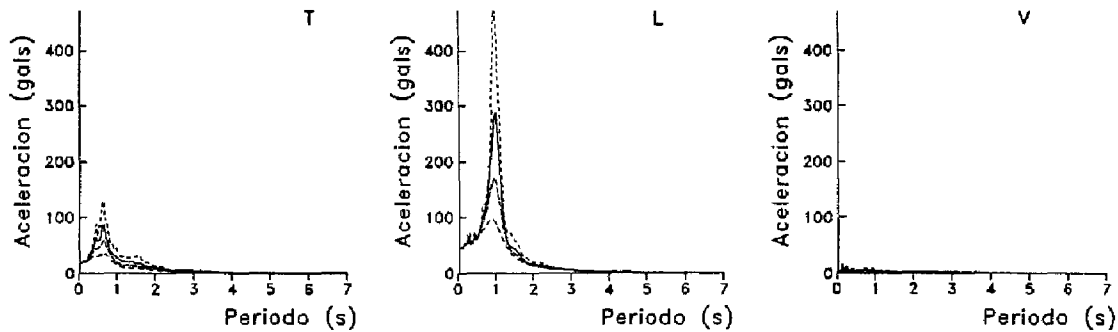
Amax (T): 19.29 SMAC-MD
 [gals] (L): -44.71 IMP49310.241
 (V): 2.53 CENAPRED



ESPECTROS DE FOURIER



ESPECTROS DE RESPUESTA (amortiguamientos 2,5,10,20%)



Registro C93136

TITULOS PUBLICADOS

BASES DE DATOS PARA LA ESTIMACION DE RIESGO SISMICO EN LA CIUDAD DE MEXICO; Coordinación de Investigación; Area de Riesgos Geológicos; M. Ordaz, R. Meli, C. Montoya-Dulché, L. Sánchez y L.E. Pérez-Rocha.

TRANSPORTE, DESTINO Y TOXICIDAD DE CONSTITUYENTES QUE HACEN PELIGROSO A UN RESIDUO; Coordinación de Investigación; Area de Riesgos Químicos; Ma. E. Arcos, J. Becerril, M. Espíndola, G. Fernández y Ma. E. Navarrete.

PROCESOS FISICOQUIMICOS PARA ESTABILIZACION DE RESIDUOS PELIGROSOS; Coordinación de Investigación; Area de Riesgos Químicos; M. Y. Espíndola y G. Fernández.

REFLEXIONES SOBRE LAS INUNDACIONES EN MEXICO; Coordinación de Investigación; Area de Riesgos Hidrometeorológicos; R. Domínguez, M. Jiménez, F. García y M.A. Salas.

MODELO LLUVIA-ESCURRIMIENTO; Coordinación de Investigación; Area de Riesgos Hidrometeorológicos; R. Domínguez, M. Jiménez, F. García y M.A. Salas

REPORT ON THE JANUARY 17, 1994 NORTHRIDGE EARTHQUAKE. SEISMOLOGICAL AND ENGINEERING ASPECTS; Coordinación de Investigación; Areas de Riesgos Geológicos y de Ensayes Sísmicos; T. Mikumo, C. Gutiérrez, K. Kikuchi, S. M. Alcocer y T. A. Sánchez

APPLICATION OF FEM (FINITE ELEMENT METHOD) TO RC (REINFORCED CONCRETE) STRUCTURES; Coordinación de Investigación; Area de Ensayes Sísmicos, H. Noguchi.

DEVELOPMENT OF ADVANCED REINFORCED CONCRETE BUILDINGS USING HIGH-STRENGTH CONCRETE AND REINFORCEMENT -NEW CONSTRUCTION TECHNOLOGY IN JAPAN-; Coordinación de Investigación; Area de Ensayes Sísmicos; S. Otani.

A STUDY ON NONLINEAR FINITE ELEMENT ANALYSIS OF CONFINED MASONRY WALLS; Coordinación de Investigación; Area de Ensayes Sísmicos; K. Ishibashi; H. Kastumata; K. Naganuma; M. Ohkubo.

SEGURIDAD SISMICA DE LA VIVIENDA ECONOMICA; Coordinación de Investigación; Area de Ensayes Sísmicos; R. Meli; S.M. Alcocer; L.A. Díaz Infante; T.A. Sánchez; L.E. Flores; R. Vázquez del Mercado; R.R. Díaz.

DETERMINISTIC INVERSE APPROACHES FOR NEAR-SOURCE HIGH-FREQUENCY STRONG MOTION; Coordinación de Investigación; Area de Riesgos Geológicos; M. Iida.

SISMICIDAD Y MOVIMIENTOS FUERTES EN MEXICO: UNA VISION ACTUAL; Coordinación de Investigación; Area de Riesgos Geológicos; S. K. Singh, M. Ordaz.

JAPANESE PRESS DESIGN GUIDELINES FOR REINFORCED CONCRETE BUILDINGS; Coordinación de Investigación, Area de Ensayes Sísmicos, S. Otani.

COMENTARIOS SOBRE LAS NORMAS INDUSTRIALES JAPONESAS DE LA CALIDAD DE AGREGADOS PARA EL CONCRETO; Coordinación de Investigación; Area de Ensayes Sísmicos; M. Saito, H. Kitajima, K. Suzuki, S. M. Alcocer.

COMENTARIOS SOBRE LAS NORMAS INDUSTRIALES JAPONESAS DE LA CALIDAD DEL CONCRETO; Coordinación de Investigación; Area de Ensayes Sísmicos; M. Saito, H. Kitajima, K. Suzuki, S. M. Alcocer.

NORMAS DE DISEÑO PARA ESTRUCTURAS DE MAMPOSTERIA DEL INSTITUTO DE ARQUITECTURA DEL JAPON; Coordinación de Investigación; Area de Ensayes Sísmicos; K. Yoshimura, K. Kikuchi, T. A. Sánchez.